

## บทที่ 3

# การเคลื่อนตัวของดินจากการขุดเจาะอุโมงค์

### 3.1 กล่าวนำ

บทนี้ได้กล่าวถึงการการเคลื่อนตัวของดินจากการขุดเจาะอุโมงค์ด้วยหัวเจาะ โดยจะกล่าวถึงประเภทของการสูญเสียมวลดิน พฤติกรรมการเคลื่อนตัวของดินจากการสูญเสียมวลดิน การเคลื่อนตัวของดินจากขั้นตอนการก่อสร้างอุโมงค์ และชนิดการเคลื่อนตัวของดิน ซึ่งมีรายละเอียดดังนี้

### 3.2 ประเภทของการสูญเสียมวลดิน

ในงานก่อสร้างอุโมงค์ด้วยการใช้หัวเจาะในปัจจุบันมีการพัฒนาทั้งทางด้านเทคโนโลยีและเทคนิคชี้วัดการก่อสร้างมากขึ้น มีความทันสมัย มีความปลอดภัยมากกว่าในอดีตและส่งผลกระทบต่อสิ่งแวดล้อมข้างเคียงน้อยลงจนสามารถขุดเจาะในบริเวณพื้นที่ชุมชนได้อย่างไรก็ตามการเคลื่อนตัวของดินยังคงเกิดขึ้นและส่งผลกระทบต่อโครงสร้างข้างเคียงทั้งโครงสร้างที่ผู้ดินและโครงสร้างใต้ดินอยู่โดยตลอด ซึ่งการเคลื่อนตัวของดินจากการก่อสร้างอุโมงค์ด้วยหัวเจาะมีสาเหตุมาจากการขุดเจาะ อาทิเช่น การสูญเสียมวลดิน (Ground loss) ขั้นตอนการก่อสร้าง (Construction phase) เป็นต้น

โดยปกติแล้วการขุดเจาะอุโมงค์ในดินอ่อนจะก่อให้เกิดการเคลื่อนตัวของดิน 2 ประเภทคือ

- 1) การเคลื่อนตัวของดินที่เกิดขึ้นขณะทำการก่อสร้าง (Short-term deformation)
- 2) การเคลื่อนตัวของดินที่เกิดขึ้นในระยะยาวหรือหลังจากทำการก่อสร้าง (Long-term deformation)

การเคลื่อนตัวของดินประเภทแรกนี้มักเป็นการเคลื่อนตัวที่มีปริมาณมากที่สุดและอันตรายที่สุด ซึ่งเกิดขึ้นขณะทำการก่อสร้างอุโมงค์ การเคลื่อนตัวลักษณะนี้มักมีสาเหตุมาจากการสูญเสียมวลดิน (Ground loss) โดยเกิดขึ้นจากการที่มวลดินรอบอุโมงค์เคลื่อนตัวเข้าสู่ช่องเปิด เนื่องจาก การเปลี่ยนแปลงของความดันในดิน (Stress relief) ขณะทำการก่อสร้าง และหากอยู่ใต้ระดับน้ำใต้ดิน น้ำก็จะไหลเข้าสู่ช่องเปิดด้วยเช่นกัน ในกรณีของการเคลื่อนตัวของดินที่เกิดขึ้นในระยะยาว จะเกิดจากหน่วยแรงประสิทธิผล (Effective stress) ของดินเพิ่มขึ้นจากการก่อสร้างอุโมงค์ ทำให้เกิดการทรุดตัวของดินจากปัญหาการอัดตัวภายในของดิน (Consolidation settlement) การเคลื่อนตัวลักษณะนี้จะเกิดขึ้นทีละน้อยแต่ต่อเนื่องเป็นเวลานานหลังจากการก่อสร้างอุโมงค์ได้เสร็จสิ้นไปแล้ว

### 3.3 พฤติกรรมการเคลื่อนตัวของดินจากการสูญเสียมวลดิน (Ground loss)

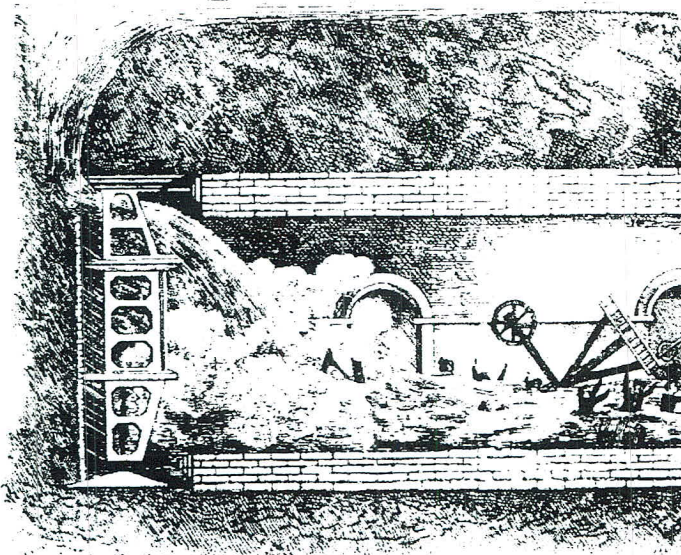
ในอดีตวิธีการขุดเจาะนั้นยังไม่ทันสมัยเหมือนในปัจจุบัน การสูญเสียมวลดินอาจเกิดขึ้นทันทีทันใดและรุนแรงจนไม่สามารถควบคุมได้ เนื่องจากการไหลดตัวเข้าอย่างรวดเร็วของดินและน้ำเข้าสู่อุโมงค์ ดังตัวอย่างที่เกิดขึ้นในการก่อสร้างอุโมงค์ลอดใต้อุโมงค์แม่น้ำเทมส์ครั้งแรก โดยมาร์ค บรูเนล ดังรูปที่ 3.1 เป็นผลทำให้อุโมงค์พังทลาย อย่างไรก็ตามปัญหารุนแรงดังกล่าวมีโอกาสเกิดขึ้นได้น้อยมากในปัจจุบัน ทั้งนี้เนื่องจากเทคโนโลยีการขุดเจาะอุโมงค์ได้พัฒนาระบบป้องกันการพังทลายของดิน โดยใช้แรงดันอากาศ แรงดันของเหลว หรือแรงดันดิน ภายในห้องกักดินด้านแรงดันดินด้านนอกหน้าหัวขุดเจาะ ขณะทำการขุดเจาะ โดยการสูญเสียมวลดินที่เกิดจากการก่อสร้างอุโมงค์ด้วยหัวเจาะ (Shield Machine, SM หรือ Tunnel Boring Machine, TBM) จะแบ่งเป็นลักษณะเบื้องต้นดังต่อไปนี้

#### 1) การสูญเสียมวลดินทางด้านหน้าของหัวเจาะ (Face loss)

การสูญเสียมวลดินทางด้านหน้าหัวเจาะมักจะเกิดขึ้นมากในกรณีที่ใช้หัวเจาะอุโมงค์ที่ไม่มีค้ำขันด้านหน้าแบบหน้าเปิด (Open-faced shield) เนื่องจากไม่มีการป้องกันแรงดันดินจากด้านหน้า ทำให้ดินเคลื่อนตัวเข้าสู่อุโมงค์ได้โดยง่าย อย่างไรก็ตามถึงแม้ในกรณีการใช้หัวเจาะอุโมงค์ที่มีค้ำขันด้านหน้าแบบหน้าปิด (Closed-faced shield) ที่ใช้วิธีการรักษาสถิติรากพันธุ์หัวเจาะด้วย แรงดันอากาศ (Air pressure) แรงดันน้ำ (Hydro- หรือ Slurry pressure) หรือแรงดันดินด้านแรงดันดิน (Earth pressure) ก็ยังคงมีโอกาสที่จะเกิดการสูญเสียมวลดินทางด้านหน้า ดังรูปที่ 3.2 หากแรงดันไม่เพียงพอหรือไม่สมดุลระหว่างภายในและภายนอกของหัวเจาะ อีกทั้งการสูญเสียมวลดินลักษณะนี้ยังพบได้ชัดเจนในกรณีที่ขุดเจาะอุโมงค์ในชั้นทรายมากกว่าในกรณีที่ขุดเจาะในชั้นดินเหนียวเนื่องจากธรรมชาติของดินทรายที่มีระยะเวลาการคงตัว (Stand-up time) ที่น้อยกว่า

#### 2) การสูญเสียมวลดินจากการตัดดินเกินเส้นรอบวงของหัวเจาะ (Over-cutting)

ในการขุดเจาะอุโมงค์ในช่วงทางโค้ง หัวเจาะจำเป็นต้องตัดดินเกินเส้นรอบวงเพื่อเพิ่มพื้นที่สำหรับเดี่ยวให้สะ粿ขึ้น โดยการยึดใบตัด (Copy cutter) ซึ่งสามารถยึดได้ถึงประมาณ 100 มม. เพื่อตัดดินส่วนเกินเส้นรอบวงหัวเจาะทำให้เกิดช่องว่างรอบหัวเจาะมากขึ้น ดังนั้นดินโดยรอบจะเคลื่อนตัวเข้าหากันช่องว่างที่เกิดขึ้น รูปที่ 3.3 แสดงการสูญเสียมวลดินจากการตัดดินเกินเส้นรอบวงของหัวเจาะ



รูปที่ 3.1 การพังทลายของอุโมงค์หลอดใต้แม่น้ำแมมส์

### 3) การสูญเสียมวลดินจากการก้มหรือเบยหัวใจ (Pitching loss)

ขณะทำการขุดเจาะอุโมงค์ หัวใจต้องเคลื่อนตัวไปตามตำแหน่งอุโมงค์ที่ได้ออกแบบไว้ อย่างไรก็ตามเป็นการยากที่จะควบคุมระดับของหัวใจให้อยู่ในแนวระดับนานาองค์ที่ต้องการ ทั้งนี้ เนื่องจากจุดศูนย์ถ่วงของหัวใจอยู่เบื้องไปด้านหน้า เนื่องจากน้ำหนักส่วนใหญ่ของหัวใจอยู่ทางด้านหน้าทำให้หัวใจมักจะถูกแรงโน้มถ่วงดึงให้หัวใจเบยไปทางด้านหน้า ดังนั้นผู้ควบคุมจึงมักปรับให้หัวใจเบยขึ้นเล็กน้อยขณะทำการขุดเจาะ เพื่อรักษาอุโมงค์ให้อยู่ในแนวตำแหน่งที่ออกแบบไว้ให้มากที่สุด การก้มหรือเบยของหัวใจนี้ทำให้เพิ่มภาระการทำงานมากขึ้นกว่าปกติ เป็นผลให้เกิดการสูญเสียมวลดินเข้าสู่อุโมงค์ได้ด้วยเช่นกันดังแสดงในรูปที่ 3.4

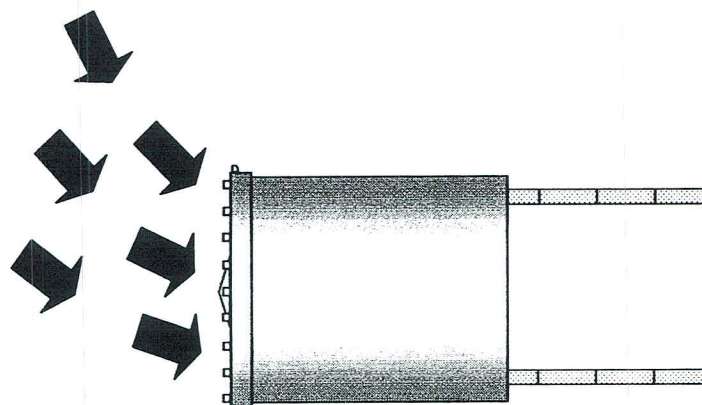
### 4) การสูญเสียมวลดินที่เกิดจากการบวนสภาพดิน (Ground disturbance)

การขุดเจาะด้วยหัวใจจะมีผลกระทบต่อโครงสร้างของดินเดิมหรือรบกวนสภาพดินเนื่องจากการเคลื่อนที่ไปข้างหน้าของหัวใจ ดังแสดงในรูปที่ 3.5 ซึ่งเป็นผลให้เกิดการทำลายคุณสมบัติของดินและเกิดการเคลื่อนตัวของดินบริเวณรอบหัวใจเข้าสู่อุโมงค์ ยิ่งหัวใจมีขนาดใหญ่เท่าไหร่ก็ยิ่งรบกวนสภาพดินมากขึ้นเท่านั้น

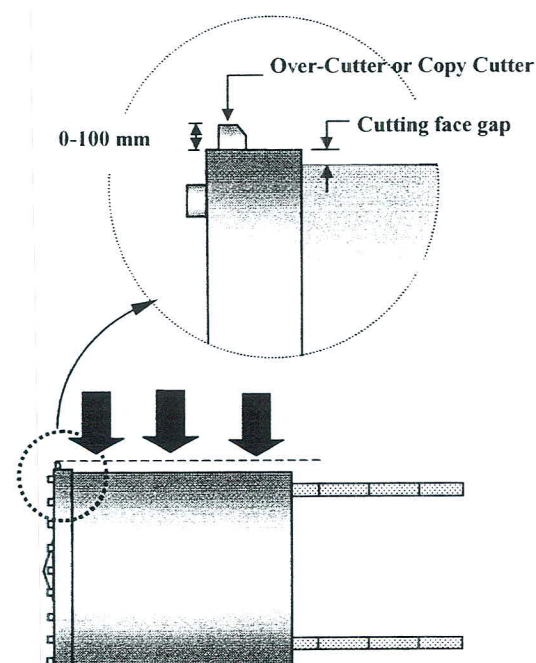
### 5) การสูญเสียมวลดินที่เกิดจากการเคลื่อนตัวปิดช่องว่างส่วนหางหัวใจ (Tail void closure)

การก่อสร้างอุโมงค์ได้ดินด้วยหัวขุดเจาะจะเกิดช่องว่างส่วนหางของหัวขุดเจาะเนื่องจากเส้นผ่าศูนย์กลางของหัวใจต้องมีขนาดใหญ่กว่าตัวอุโมงค์ ทั้งนี้เพื่อให้มีพื้นที่ในการติดตั้งผนังอุโมงค์ภายในหัวใจซึ่งช่องว่างดังกล่าวจะมีขนาดประมาณ 7-8 ซม. ดังรูปที่ 3.6 ดังนั้นหากไม่มีวิธี

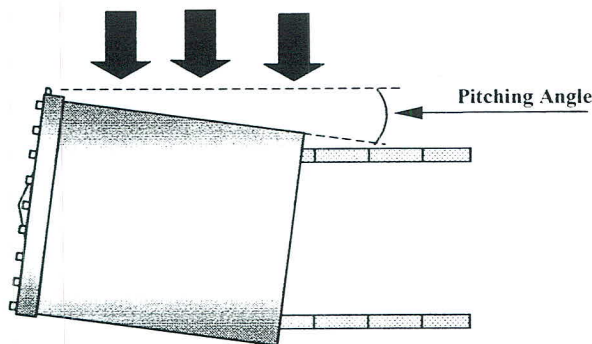
ป้องกันจะทำให้มวลดินโดยรอบอุโมงค์เคลื่อนตัวเพื่อปิดช่องว่าง ในปัจจุบันจะแก้ไขโดยการใช้การฉีดอัดน้ำปูน (Tail void grouting) แรงดันสูงเพื่อปิดช่องว่างดังกล่าว หรือ การใช้ผนังอุโมงค์แบบขยายตัว (Expanding lining) อย่างไรก็ตามการสูญเสียมวลดินจากการเคลื่อนตัวปิดของช่องว่าง ส่วนของหัวเจาะยังคงเกิดขึ้น



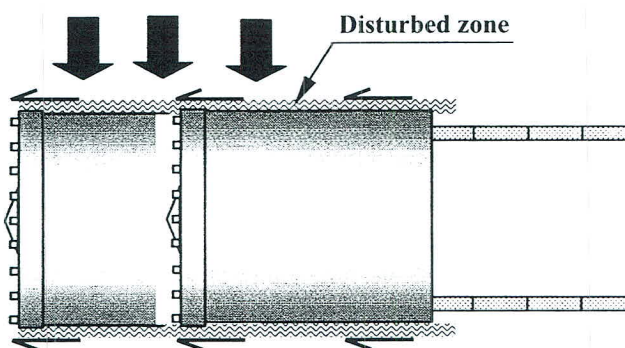
รูปที่ 3.2 การสูญเสียมวลดินที่ด้านหน้าหัวเจาะ



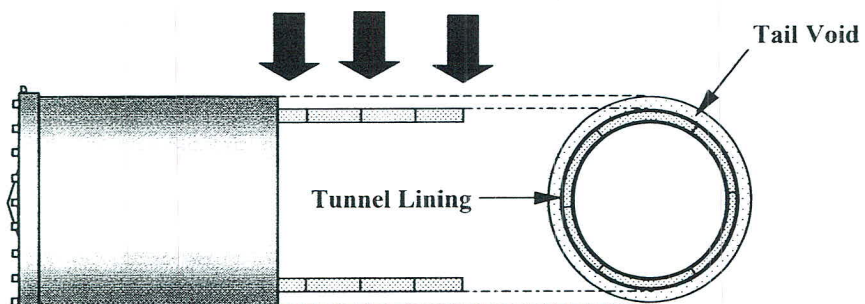
รูปที่ 3.3 การสูญเสียมวลดินจากการตัดดินเกินเส้นรอบวงของหัวเจาะ



รูปที่ 3.4 การสูญเสียมวลดินจากการกัมเมฆของหัวเจาะ



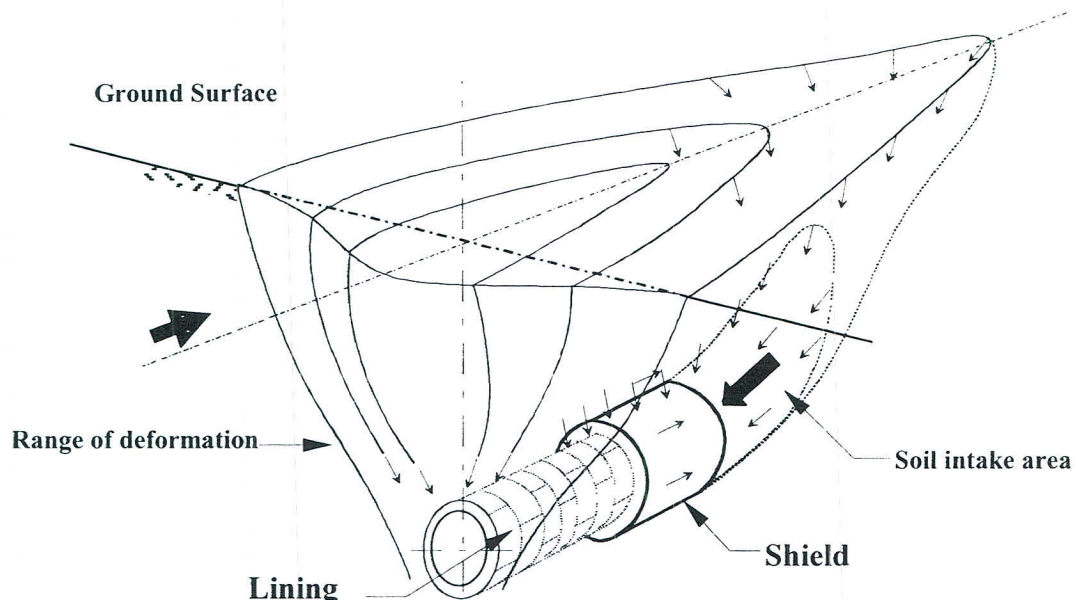
รูปที่ 3.5 การสูญเสียมวลดินจากการรบกวนสภาพดิน



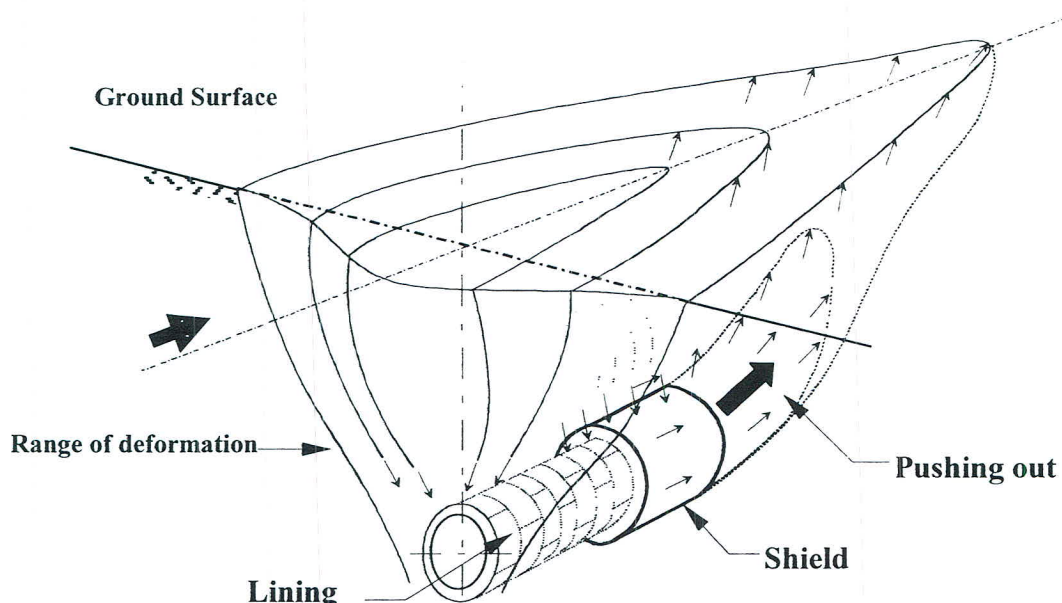
รูปที่ 3.6 การสูญเสียมวลดินจากการซ่อนหัวเจาะ

ขนาดการสูญเสียมวลดินในแต่ละลักษณะจะขึ้นอยู่กับชนิดของดิน วิธีการก่อสร้างอุโมงค์และวิธีการควบคุมหัวเจาะ ซึ่งการควบคุมนี้จะเกี่ยวข้องกับกันแรงดันหน้าหัวเจาะ การบังคับทิศทางความเร็ว การถีบตัว และประสิทธิภาพการทำงาน ดังนั้นการสูญเสียมวลดินจะมากหากปล่อยให้ด้านหน้าหัวเจาะขาดการป้องกัน หรือปล่อยช่องว่างส่วนทางไว้โดยไม่มีการฉีดอัดน้ำปูน หรือการ

กระบวนการดินอย่างรุนแรงอันเนื่องมาจากการบังคับเคลื่อนที่ไม่ระมัดระวัง หรือการล่าช้าระหว่างการติดตั้งผนังอุปโภค์ของคนงาน เป็นต้น



รูปที่ 3.7 การเคลื่อนตัวของดินในลักษณะที่เข้าสู่ตัวอุปโภค์



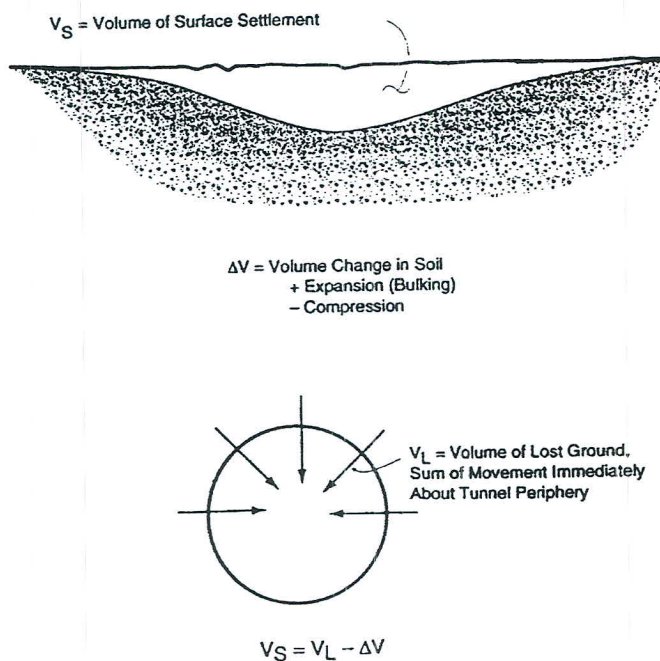
รูปที่ 3.8 การเคลื่อนตัวของดินในลักษณะที่ถูกผลักออกจากตัวอุปโภค์

การสูญเสียมวลดินที่เกิดจากการก่อสร้างอุปโภค์ จะส่งผลให้เกิดการทรุดตัวบนผิวดินเป็นแนวยาว (Longitudinal settlement) และแนวขวาง (Transverse settlement) ของแนวอุปโภค์ซึ่งจะมีลักษณะเป็นหลุมหรือที่เรียกว่า Sink hole ดังแสดงในรูปที่ 3.7 อันเป็นผลมาจากการเคลื่อนตัวของ

คินเข้าสู่ตัวอุโมงค์ โดยสามารถสร้างความเสียหายต่อผิวนนและโครงสร้างข้างเคียง อีกทีตามควรตั้งข้อสังเกตว่า การเคลื่อนตัวของคินในพื้นที่ทางตรงกันข้าม หรือการผลักคินออกจากตัวอุโมงค์ ก็เกิดขึ้นได้ เช่นกัน หากความดันด้านท่านคินภายในหัวเจาะมีสูงมากกว่าความดันด้านนอกดังแสดงในรูปที่ 3.8 ในกรณีนี้ก็สามารถสร้างความเสียหายได้ด้วยเช่นกัน โดยทำให้เกิดการบวมตัวที่ผิวนนและอาจสร้างปัญหาต่อฐานรากเสาเข็มที่อยู่ในแนวก่อสร้าง

ดังที่ได้กล่าวไว้ว่า การก่อสร้างอุโมงค์ได้ดินด้วยหัวเจาะในปัจจุบันได้มีการพัฒนาขึ้นมาโดยมีการใช้หัวเจาะที่ทันสมัยและมีวิธีการรักษาเสถียรภาพระหว่างการขุดเจาะเพื่อป้องกันการพังทลายของคิน แต่ปัญหาการเคลื่อนตัวของคินยังคงเกิดขึ้นอยู่เสมอและมักจะส่งผลกระทบต่อโครงสร้างข้างเคียง ดังนั้นเพื่อที่จะป้องกันปัญหานี้จึงควรต้องศึกษาสาเหตุที่ก่อให้เกิดการเคลื่อนตัวของคินโดยพนิชนาการหัวเจาะที่มีความซับซ้อน ดังนั้นการศึกษาและวิจัยเพื่อหาความสัมพันธ์ระหว่างพฤติกรรมของคินและหัวเจาะจึงมีความจำเป็น เพื่อให้สามารถเข้าใจและประเมินผลกระทบที่เกิดขึ้นได้อย่างถูกต้อง ซึ่งจะนำไปสู่การป้องกันและแก้ไขอย่างมีประสิทธิภาพ

เพื่อให้เข้าใจถึงความหมายของการสูญเสียมวลคินเพิ่มขึ้น จึงได้กล่าวเพิ่มเติมในส่วนของการสูญเสียมวลคินโดยในอดีตยังไม่มีข้อมูลในการเคลื่อนตัวของคินมากนัก หลังจากปีค.ศ. 1970 ได้มีการวิจัยและพัฒนามากขึ้น เช่น การสร้างรถไฟใต้ดินที่ Baltimore Washington D.C. ดังรูปที่ 3.9



รูปที่ 3.9 นิยามที่เกี่ยวกับการทรุดตัวและการสูญเสียมวลคิน (Ground loss) ของอุโมงค์ (Tunnel Engineering Handbook, 1996)

โดย

$\Delta V$  (Volume Change) = การเปลี่ยนแปลงปริมาณของดินจากการบุดเฉาอุโนงค์

$V_s$  (Volume of Surface Settlement) = ปริมาณของการทรุดตัวที่ผิวดิน

$V_L$  (Volume of Lost Ground) = ปริมาณของการสูญเสียมวลดินทั้งหมดของอุโนงค์

จากความสัมพันธ์ดังกล่าวจึงสามารถประมาณค่าปริมาณการสูญเสียมวลดินที่เกิดขึ้นได้จาก การเปลี่ยนแปลงปริมาณของดินจากการบุดเฉาอุโนงค์และปริมาณการทรุดตัวที่ผิวดิน

โดยปกติสามารถคำนวณการสูญเสียมวลดินจากการคำนวณอย่างง่ายดังนี้

$$\text{Ground Loss (\%)} = \frac{(\text{ปริมาณมวลดินที่ไหลเข้าอุโนงค์ต่อหนึ่งหน่วยเมตร})}{(\text{ปริมาตรของอุโนงค์ต่อหนึ่งหน่วยเมตร})} \times 100\% \quad (3.1)$$

$$\text{ปริมาตรของอุโนงค์ต่อเมตร (ในกรณีอุโนงค์กลม)} = \frac{\pi D_o^2}{4} \times 1 \text{ เมตร}$$

โดย  $D_o$  = เส้นผ่าศูนย์กลางภายนอกของอุโนงค์

นอกจากนี้ยังมีวิธีการประมาณค่าการทรุดตัวที่ผิวดินเพื่อหาค่าการสูญเสียมวลดินโดยได้สรุป สามเหตุของการทรุดตัวไว้เป็น 3 กรณีดังนี้

1) Face Losses คือการเคลื่อนตัวของดินในส่วนหน้าก้อนถึงหัวใจ โดยเกิดจากลักษณะ การเคลื่อนตัวของดินแบบ raveling caving flowing running หรือ squeezing

2) Shield Losses คือการเคลื่อนตัวของดินบริเวณหัวใจ โดยหัวใจเกิดการไถ (plowing) การก้มหรือเงย (pitching) หรือ การหันเหทิศทาง (yawing) เป็นต้น

3) Tail Losses คือการเคลื่อนตัวของดินบริเวณส่วนหางหรือส่วนท้ายหัวใจในส่วนของ ระบบค้ำยันส่วนท้าย โดยเกิดจากการขยายตัวของระบบค้ำยันส่วนท้ายหรือการฉีดอัดน้ำปูน (Grouting)

โดยมีวิธีการที่ใช้ในการประมาณค่าการสูญเสียมวลดินแบ่งเป็น 2 วิธี ได้แก่ 1) การเก็บข้อมูล บริเวณพื้นที่ทำการบุดเฉาอุโนงค์และประมาณค่าเป็นเปอร์เซ็นต์ เช่นที่ Washington D.C. จะมีค่า การสูญเสียมวลดินประมาณ 1% ซึ่งในทางปฏิบัตินั้นมีค่าประมาณ 1-1.5% ถึง 3% 2) การคำนวณ โดยวิศวกรโดยใช้ค่าทางกลศาสตร์ของดินดังแสดงในตารางที่ 3.1 ซึ่งทั้ง 2 วิธีดังกล่าวสมมติให้ เครื่องจักรต่างๆในการก่อสร้างอุโนงค์ไม่มีข้อผิดพลาด ซึ่งในความเป็นจริงนั้นเป็นไปไม่ได้ ดังนั้น ในการคำนวณจึงทำการปรับแก้เพื่อเพิ่มความถูกต้องให้มากขึ้น โดยอาจทำการเพิ่มปริมาณการ สูญเสียมวลดินอีกประมาณ 1% ซึ่งขึ้นอยู่กับปัจจัยต่างๆ เช่นหากหัวใจเกิดการหันเหทิศทางหรือ หัวใจบิดตัวก็อาจทำการเพิ่มค่าการสูญเสียมวลดินอีกประมาณ 1-2% เป็นต้น

ปัจจัยอื่นๆ ที่มีผลต่อการทรุดตัว เช่น เดียวกันแต่ค่อนข้างยากในการประมาณค่า เช่น

- ในช่วงเริ่มต้นของการขุดเจาะ เช่น การสำรวจดิน งานงาน เทคนิค โครงการแต่ละโครงการที่มีความแตกต่างกันซึ่งจำเป็นต้องมีการเรียนรู้เทคโนโลยีใหม่ ๆ เพื่อการควบคุมงานให้มีคุณภาพมากขึ้น
- การพัฒนา ก่อสร้างและการเริ่มต้นการก่อสร้างใหม่ อาจเกิดมาจากการหลาຍสาเหตุ เช่น งานงานประท้วงหยุดงาน เครื่องมือเสียหาย อุบัติเหตุ เป็นต้น ซึ่งอุบัติเหตุที่ต้องมีส่วนร่วมในกระบวนการก่อสร้าง เช่น ไฟไหม้ น้ำท่วม ภัยธรรมชาติ ฯลฯ ทำให้เกิดการเปลี่ยนแปลงในโครงสร้าง เช่น การเพิ่มเติมตัวอักษร หรือเปลี่ยนแปลงรูปแบบของโครงสร้าง ฯลฯ
- สิ่งกีดขวาง เช่น บ่อน้ำริม สภาพตามธรรมชาติต่างๆ เช่น แม่น้ำ ลำธาร ภูเขา ฯลฯ ที่ต้องคำนึงถึงในกระบวนการก่อสร้าง เช่น การตัดต้นไม้ หรือการขุดดิน ฯลฯ
- พื้นที่ที่มีการสัญจรมาก เช่น ในเมืองใหญ่ๆ ทำให้เกิดความไม่สงบในกระบวนการก่อสร้าง เช่น ถนนสายหลัก ทางด่วน ทางดิน ฯลฯ ที่ต้องคำนึงถึงในกระบวนการก่อสร้าง เช่น การตัดต้นไม้ หรือการขุดดิน ฯลฯ
- ภัยธรรมชาติ เช่น แผ่นดินไหว ภัยธรรมชาติ ฯลฯ ที่ต้องคำนึงถึงในกระบวนการก่อสร้าง เช่น การตัดต้นไม้ หรือการขุดดิน ฯลฯ
- ภัยธรรมชาติ เช่น แผ่นดินไหว ภัยธรรมชาติ ฯลฯ ที่ต้องคำนึงถึงในกระบวนการก่อสร้าง เช่น การตัดต้นไม้ หรือการขุดดิน ฯลฯ

จึงเห็นได้ชัดว่ามีปัจจัยมากมายที่ทำให้เกิดการทรุดตัว ซึ่งวิศวกรและผู้รับเหมา ก่อสร้างต้องรับมือและหาทางป้องกัน ซึ่งต้องการการตัดสินใจที่แม่นยำในการแก้ปัญหาดังกล่าว

- หากเกิดความเสียหายที่รุนแรงกว่าปกตินั้นอาจมีผลจากปัจจัยอื่น ๆ ได้แก่
- หินก้อนใหญ่ที่หล่นลงมา
  - การเคลื่อนตัวของทรายและ silt
  - การบีบอัดตัวของ clay และ silt
  - การขุดเจาะที่ไม่สมดุล

ดังนั้นการคำนวณปริมาณการสูญเสียมวลดิน จึงเป็นศิลปะที่ซับซ้อนสำหรับวิศวกรและผู้รับเหมาที่ต้องใช้องค์ความรู้มากขึ้น

จากที่ได้กล่าวไว้ในการคำนวณหาค่าการสูญเสียมวลดิน ซึ่งคำนวณได้จากการประมาณค่าการทรุดตัวที่ผิด din โดยการประมาณค่าแนวการทรุดตัวได้ถูกเสนอโดย Peck (1969) ดังตัวอย่างที่แสดงในรูปที่ 3.10 โดยสามารถหาค่าแนวการทรุดตัวที่ผิด din  $S(x,y)$  และค่าการสูญเสียมวลดินจากค่าการทรุดตัวสูงสุด ( $S_{max}$ ) และค่า Trough width parameter (i) ดังต่อไปนี้

$$S(x, y) = S_{max} \exp(-x^2/2i^2) \quad (3.2)$$

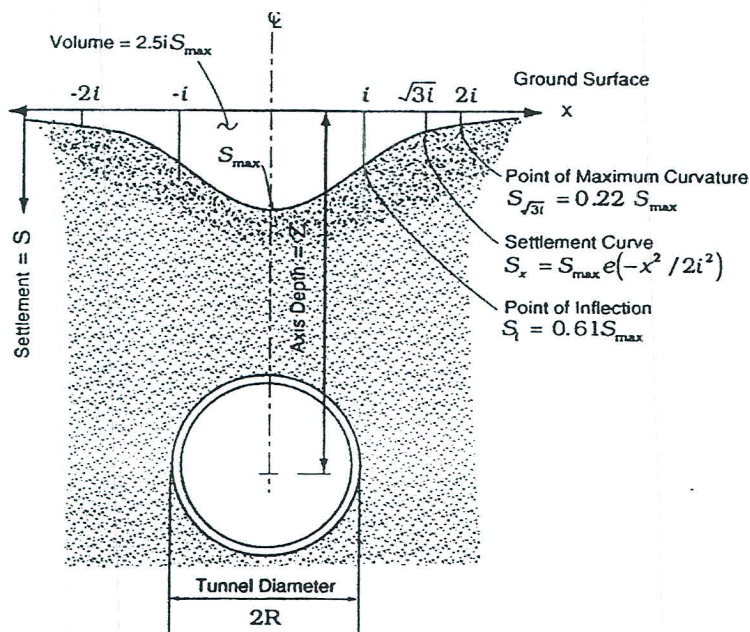
$$V_L = 2.5i S_{max} \quad (3.3)$$

$$\text{Ground loss (\%)} = \frac{V_L}{V_T} \times 100\% \quad (3.4)$$

$V_T$  = ปริมาตรของอุโมงค์ต่อหนึ่งหน่วยเมตร

ตารางที่ 3.1 การประมาณค่าการสูญเสียมวลดินตามคุณภาพการก่อสร้างและลักษณะดิน  
(Tunnel Engineering Handbook, 1996)

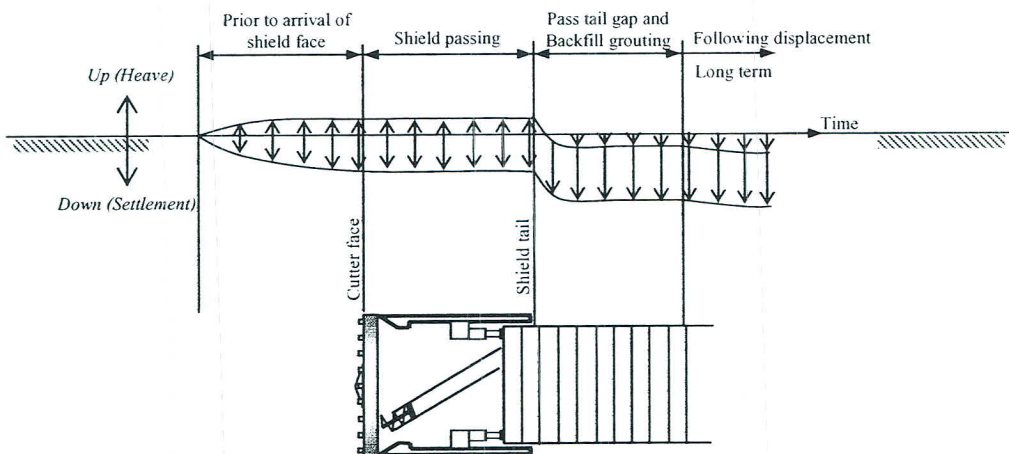
กรณี	$V_L (\%)$
Good practice in firm ground <ul style="list-style-type: none"> <li>Applies to better soils and excellent ground control</li> </ul>	0.5
Good practice in slowly raveling ground <ul style="list-style-type: none"> <li>Considered good ground</li> </ul>	1.5
Fair practice in fast raveling ground <ul style="list-style-type: none"> <li>More shield and tail loss</li> </ul>	2.5
Poor practice in cohesive running ground <ul style="list-style-type: none"> <li>Get more shield loss</li> <li>Tail void mostly unfilled by grouting and/or support expansion of the initial support</li> </ul>	4.0 or more



รูปที่ 3.10 Normal probability curve หรือ Gaussian distribution Curve ประมาณค่าแนวการทรุดตัวที่ผิดนิยากรากการขุดเจาะอุโมงค์ (Peck, 1969)

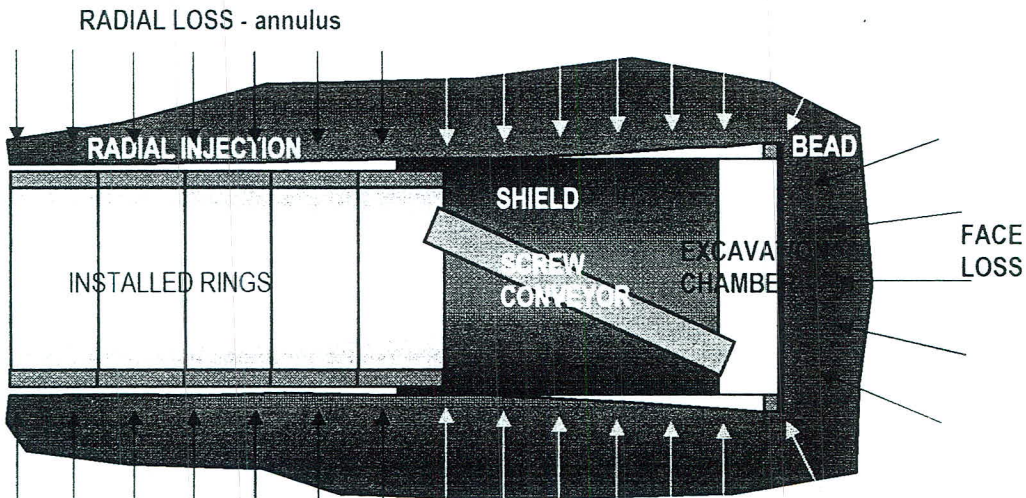
### 3.4 การเคลื่อนตัวของดินจากขันตอนการก่อสร้างอุโมงค์ด้วยหัวเจาะ

จากหัวข้อที่ผ่านมานอกจากการขุดเจาะอุโมงค์จะก่อให้เกิดการเคลื่อนตัวของดินจากการสูญเสียมวลดินรอบอุโมงค์แล้ว ขันตอนการก่อสร้างในแต่ละช่วงของการขุดเจาะที่มีพฤติกรรมแตกต่างกันยังส่งผลกระทบให้เกิดการเคลื่อนตัวของดินที่แตกต่างกันอีกด้วย ซึ่งโดยทั่วไปแล้วสามารถแบ่งช่วงการเคลื่อนตัวของดินตามช่วงของการขุดเจาะได้ดังรูปที่ 3.11 โดยช่วงแรกคือช่วงด้านหน้าของหัวเจาะก่อนที่จะถึงหัวเจาะและการเคลื่อนตัวสามารถเกิดขึ้นได้สองกรณีคือดินเคลื่อนที่เข้าหาหัวเจาะและดินเคลื่อนที่ออกจากหัวเจาะ ช่วงที่สองคือตำแหน่งที่ผิวน้ำหัวเจาะถึงพอดีหรือที่ตำแหน่ง Cutter face การเคลื่อนตัวมีลักษณะเดียวกันกับช่วงแรก ช่วงที่สามคือบริเวณรอบหัวเจาะหรือผ่านหัวเจาะไปแล้วเข้าสู่บริเวณรอบผนังอุโมงค์ เกิดการเคลื่อนตัวของดินเข้าหาอุโมงค์เนื่องจากช่องว่างส่วนหางซึ่งจะมีปริมาณน้อยหรือมากขึ้นอยู่กับการฉีดอัดน้ำปูน ช่วงที่ห้าคือเกิดการเคลื่อนตัวของดินขึ้นเพื่อเติมจากปื้นจัยอื่นๆ เช่น การหดตัวของวัสดุที่ใช้ในการฉีดอัดน้ำปูน การทรุดตัวจากการอัดตัวภายในของดิน (Consolidation settlement) ฯลฯ



รูปที่ 3.11 การเคลื่อนตัวของดินจากการขุดเจาะอุโมงค์ด้วยหัวเจาะในแต่ละช่วง

นอกจากนี้อาจพิจารณาในลักษณะของการสูญเสียมวลดินรอบหัวเจาะและอุโมงค์ดังแสดงในรูปที่ 3.12



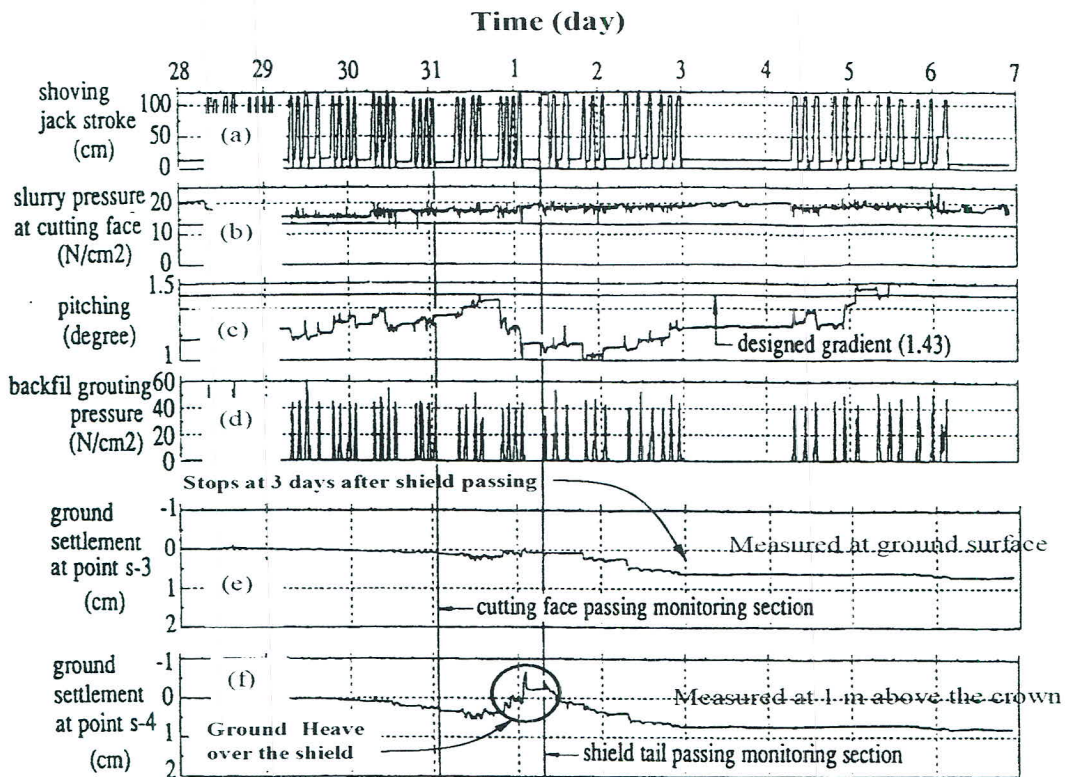
รูปที่ 3.12 การเคลื่อนตัวของดินจากการสูญเสียมวลดินรอบหัวเจาะและอุโมงค์ (Chiriotti, 2006)

โดยจากรูปที่ 3.12 มีการเคลื่อนตัวของดินจากการสูญเสียมวลดินรอบหัวเจาะและอุโมงค์ซึ่งเกิดจากการสูญเสียมวลดินที่ด้านหน้าหัวเจาะ การสูญเสียมวลดินรอบหัวเจาะตามแนวรัศมีและการสูญเสียมวลดินรอบอุโมงค์ตามแนวรัศมี

ซึ่งการสูญเสียมวลดินที่ด้านหน้าและรอบหัวเจาะอันก่อให้เกิดการเคลื่อนตัวของดินหรือการทรุดตัวที่ผิวดินสามารถประมาณปริมาณการทรุดตัวที่ผิวดินของเต่าระช่วงจากทั้งหมดดังนี้

- 1) 10% – 20% เป็นผลจากการสูญเสียมวลดินที่ด้านหน้าของหัวเจาะ
- 2) 40% - 50% เป็นผลจากช่องว่างรอบหัวเจาะ
- 3) 30% - 50% เป็นผลจากช่องว่างส่วนทางหรือส่วนท้ายของหัวเจาะ

นอกจากนี้ยังมีผู้ทำการศึกษาการเคลื่อนตัวของดินในแต่ละช่วงของการขุดเจาะอุโมงค์ด้วยหัวเจาะแบบแรงดันน้ำโคลน (Slurry shield) โดยแบ่งการศึกษาเป็นสามช่วงเช่นเดียวกัน เช่นการศึกษาของ Matsushita Iwasaki Hashimoto และ Imanishi ได้ศึกษาการทรุดตัวของดินในแต่ละช่วงของการขุดเจาะอุโมงค์ในชั้น decomposed granite soil จากข้อมูลผลการตรวจวัดจากอุปกรณ์ตรวจวัดทางชานมีเทคนิคและข้อมูลการควบคุมหัวเจาะอันได้แก่ ระยะในการถีบของขาลีบไฮดรอลิก (Shoving jack stroke) แรงดันถีบยันที่ด้านหน้าหัวเจาะ (Slurry pressure) มุนเงยของหัวเจาะ (Pitching) แรงดันในการฉีดอัดดัน้ำปูน (Backfill grouting pressure) และได้ความสัมพันธ์จากข้อมูลทั้งหมดดังแสดงในรูปที่ 3.13



รูปที่ 3.13 ข้อมูลการตรวจวัดเปรียบเทียบกับพฤติกรรมการขุดเจาะที่เวลาต่างๆ

โดยจากความสัมพันธ์ที่ได้เปรียบเทียบไปดังกล่าวจึงได้แบ่งการทรุดตัวตามระยะของหัวเจาะ เป็นสามช่วงได้แก่

1) การทรุดตัวในช่วงก่อนที่หัวเจาะทำการขุดเจาะผ่าน

ปัจจัยจากพฤติกรรมการขุดเจาะที่มีผลต่อการทรุดตัวของดินในช่วงก่อนที่หัวเจาะจะทำการขุดเจาะผ่านคือแรงดันที่ด้านหน้าของหัวเจาะและการสั่นสะเทือนของหัวเจาะ โดยจากข้อมูลการตรวจวัดพบว่าแรงดันที่ด้านหน้าที่มากขึ้นส่งผลให้การทรุดตัวลดลงหรือหากมากเกินไปก็จะเกิดการบวนตัว (Heave) ขึ้น

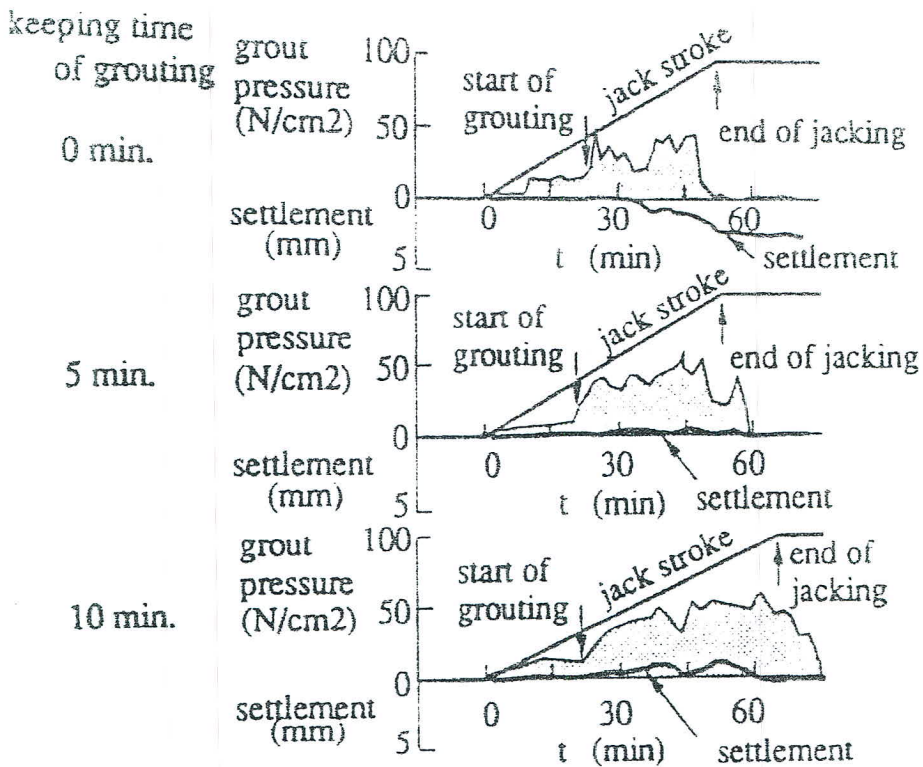
2) การทรุดตัวในช่วงที่หัวเจาะผ่านพอดี

ปัจจัยที่ทำให้เกิดการทรุดตัวในส่วนนี้คือการควบคุมหัวเจาะ เช่น การก้มหรือเบยของหัวเจาะ ซึ่งทำให้เกิดช่องว่างรอบอุโมงค์เพิ่มมากขึ้นและส่งผลให้เกิดการทรุดตัวเพิ่มขึ้น

3) การทรุดตัวหลังจากหัวเจาะขุดเจาะผ่าน

รูปที่ 3.14 ได้แสดงความสัมพันธ์ของการฉีดอัดน้ำปูนกับการทรุดตัว โดยการฉีดอัดน้ำปูนเริ่มหลังจากการถีบตัวไปข้างหน้าของหัวเจาะไปแล้ว 30 เซนติเมตรซึ่งเป็นจุดที่เกิดช่องสำหรับการฉีดอัดน้ำปูนของผนังอุโมงค์โดยพื้นผนังหัวเจาะส่วนทางพอดี โดยพบว่าหากทำการฉีดอัดน้ำปูนที่มี

ความดันคงที่เป็นเวลามากกว่า 5 นาที จะช่วยลดการทรุดตัวให้น้อยลงหรืออาจไม่เกิดการทรุดตัวเลย



รูปที่ 3.14 แผนภูมิแสดงความสัมพันธ์ระหว่างการฉีดอัคน้ำปูนและการทรุดตัว

ทั้งนี้นักออกแบบต้องคำนึงถึงสภาพทางธรณีวิทยา ความลึกและรูปร่างของอุโมงค์ด้วย เช่นกัน

ในประเทศไทยเองก็เช่นกัน ได้มีผู้ศึกษาการเคลื่อนตัวของดินจากการขุดเจาะอุโมงค์ด้วยหัวเจาะแบบปรับแรงดันดินสมดุล โดย Suwansawat (2002) ได้ทำการศึกษาผลกระบวนการขุดเจาะอุโมงค์ด้วยหัวเจาะแบบปรับแรงดันดินสมดุลต่อการเคลื่อนตัวของดินจากข้อมูลการตรวจวัดอุปกรณ์ตรวจวัดทางธรณีเทคนิค เช่น แนวหมุดวัดการทรุดตัว (Settlement array) เพื่อตรวจสอบการทรุดตัวของดิน หรือ อุปกรณ์วัดการเคลื่อนตัวทางด้านข้าง (Inclinometer) เพื่อตรวจสอบการเคลื่อนตัวด้านข้าง จากโครงการรถไฟฟ้าสายเฉลิมรัชมงคลหรือรถไฟฟ้าใต้ดินสายแรกของประเทศไทย จากการศึกษาของ Suwansawat พบร่วมกับการเคลื่อนตัวของดินมีลักษณะที่เปลี่ยนแปลงไปตามพฤติกรรมของหัวเจาะตามระยะห่างจากหัวเจาะ ซึ่งสามารถแบ่งออกเป็นช่วงได้สามช่วง เช่นเดียวกัน

ดังนั้นจึงสามารถสรุปได้จากการศึกษาวิจัยที่ผ่านมาในอดีต ได้ว่าการเคลื่อนตัวของดินจากพฤติกรรมของหัวเจาะที่เปลี่ยนไปตามขั้นตอนการก่อสร้างแบ่งได้เป็น 3 ช่วงด้วยกันคือ ช่วงก่อนที่

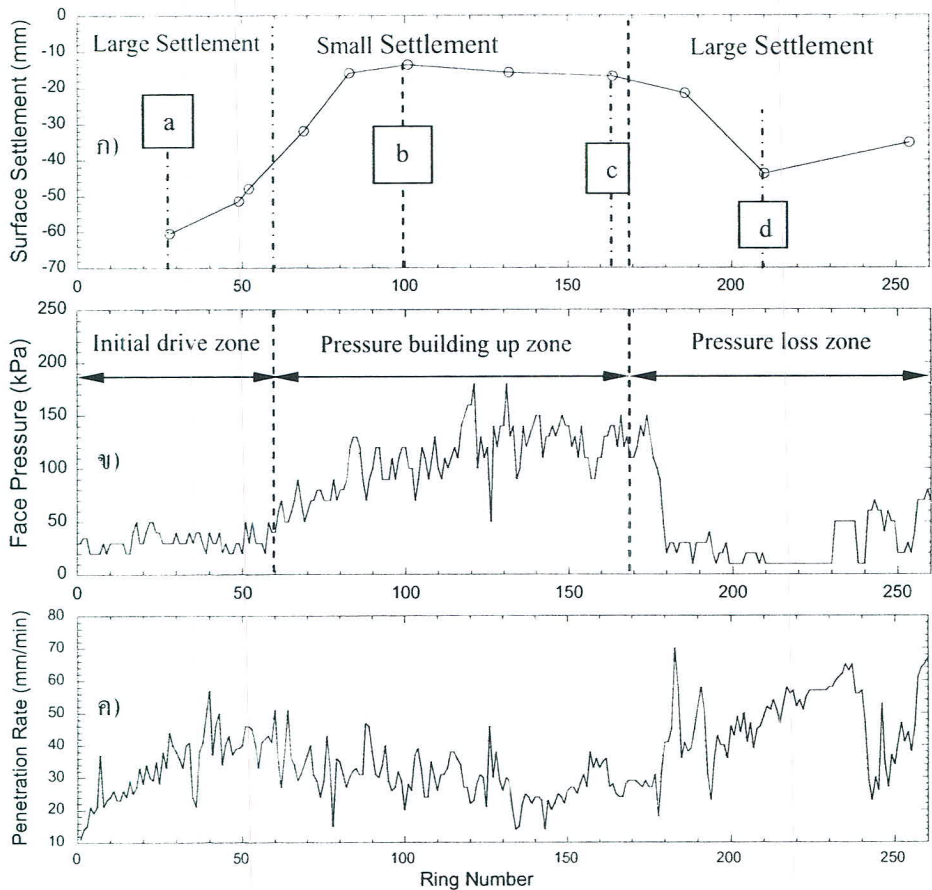
หัวใจจะถึงจุดที่พิจารณา ช่วงที่หัวใจผ่านพอดีและช่วงที่หัวใจผ่านไปแล้ว โดยทั้ง 3 ช่วงเป็นการเคลื่อนตัวแบบทันทีทันใดหรือในช่วงระยะเวลาสั้นๆ (Short Term) ซึ่งมักจะมีค่ามาก

### 3.5 ชนิดการเคลื่อนตัวของดิน

การวิเคราะห์การเคลื่อนตัวของดินสามารถแบ่งได้เป็นหลายกรณีประกอบไปด้วย การทรุดตัวของผิวดินตามแนวยาว (Longitudinal surface settlement) การทรุดตัวของผิวดินตามแนวขวาง (Transverse surface settlements) ที่เกิดจากการบุกเจาะอุ่โนงค์เดียวและอุ่โนงค์คู่ และการเคลื่อนตัวทางด้านข้างของดินที่เกิดจากการบุกเจาะอุ่โนงค์ (Lateral ground deformation) มีรายละเอียดดังนี้

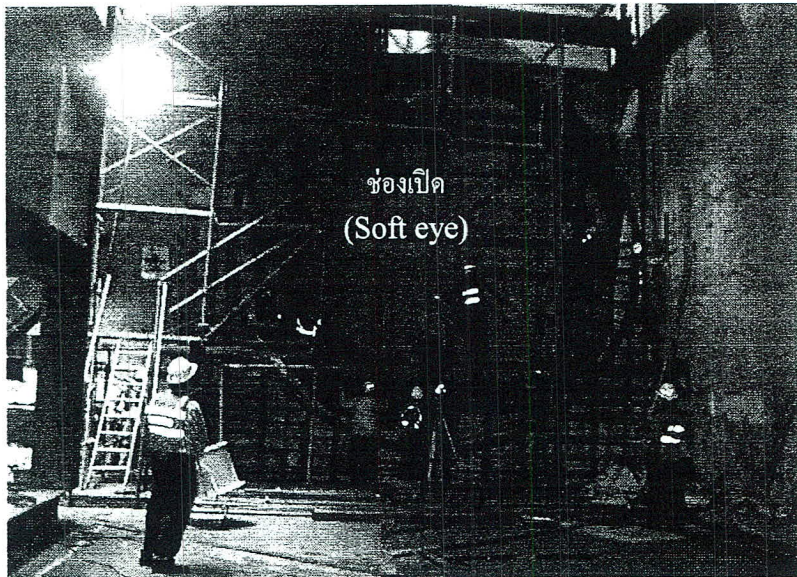
#### 3.5.1 การทรุดตัวของผิวดินตามแนวยาว (Longitudinal surface settlements)

การสูญเสียมวลดินที่เกิดจากการก่อสร้างอุ่โนงค์ จะส่งผลให้เกิดการทรุดตัวของผิวดินเป็นแนวยาว (Longitudinal surface settlement) ทั้งนี้ขึ้นต้นของการทรุดตัวจะขึ้นอยู่กับหลักปัจจัย โดยหัวข้อนี้จะใช้โครงการก่อสร้างอุ่โนงค์รถไฟฟ้าใต้ดินสายเฉลิมรัชมงคลเป็นกรณีศึกษา ทำการวิเคราะห์การทรุดตัวที่ผิวดินในช่วงระหว่างสถานีศูนย์วัฒนธรรมฯ และสถานีประชาราษฎร์บำเพ็ญ เนื่องจากเป็นบริเวณที่มีการติดตั้งเครื่องมือตรวจวัดทางธรณีเทคนิคจำนวนมาก อุ่โนงค์ส่วนใหญ่ที่บุกเจาะในส่วนก่อสร้างนี้จะถูกบุกเจาะในชั้นดินเหนียวแข็ง (Stiff clay) ยกเว้นในช่วงกึ่งกลางระหว่างสถานี โดยส่วนล่างของอุ่โนงค์จะถูกบุกเจาะในชั้นดินรายแน่น (Dense sand) การทำงานของหัวใจแบบปรับแรงดันดินสมดุลที่รักษาเสถียรภาพของดินหน้าหัวใจ ไว้โดยการควบคุมความดันหน้าหัวใจ (Face pressure) ซึ่งเป็นพารามิเตอร์ควบคุมระหว่างการบุกเจาะ ความดันนี้ถูกวัดโดยเซลล์วัดความดัน (Pressure cell) ที่ติดตั้งภายในห้องกัดดิน เมื่อวิเคราะห์จากความดันหน้าหัวใจระหว่างการบุกเจาะอุ่โนงค์ในส่วนก่อสร้างนี้สามารถแบ่งออกเป็น 3 กรณี ได้แก่ 1) ช่วงเริ่มต้นการบุก (Initial drive zone) 2) ช่วงเพิ่มความดันด้านหน้า (Pressure building up zone) และ 3) ช่วงสูญเสียความดันด้านหน้า (Pressure loss zone) ดังแสดงไว้ในรูปที่ 3.15

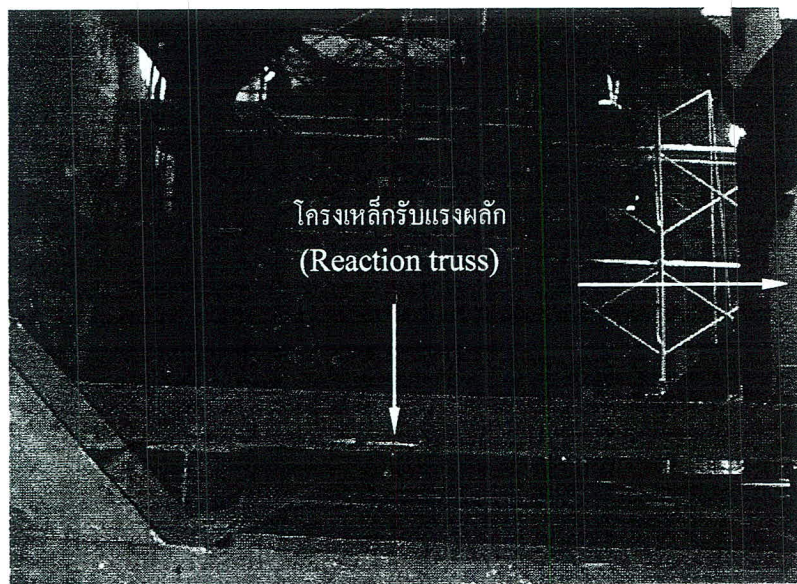


รูปที่ 3.15 กราฟแสดงค่าการทรุดตัวของพิวดิน ความดันหน้าหัวเจาะ และความเร็วขณะขุดเจาะ โดยบันทึกระหว่างสถานีศูนย์วัฒนธรรมฯ และสถานีประชารายณ์บำเพ็ญ

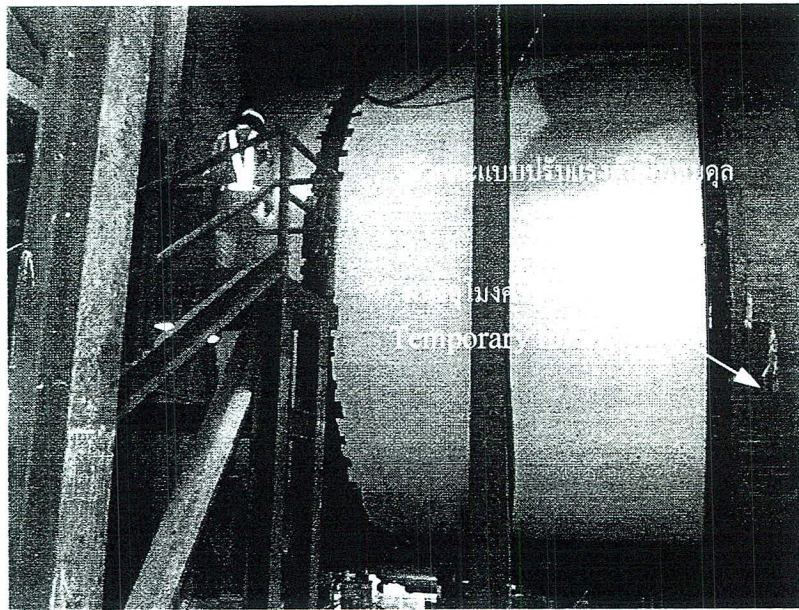
ในช่วงแรกเริ่มของการขุดเจาะด้วยหัวเจาะแบบปรับแรงดันดินสมดุลนั้น หัวเจาะ ได้ถูกประกอบขึ้นด้านหลังกำแพงพืดด้านหนึ่งของสถานีศูนย์วัฒนธรรมฯ ก่อนที่หัวเจาะจะเคลื่อนตัวออกจากช่องเปิด (Soft eye) ที่ได้ถูกเตรียมบนกำแพงพืด (Diaphragm wall) กันสำหรับหัวเจาะ เพื่อที่จะตัดผ่านดังแสดงไว้ใน รูปที่ 3.16 แนวหัวเจาะทะลวงซึ่งหัวเจาะต้องตัดผ่านจะเสริมด้วยเส้นไขไฟเบอร์ ดังนั้น หัวเจาะจึงสามารถที่จะเจาะผ่านไปได้ นอกจากนี้ โครงเหล็กรับแรงผลัก (Reaction truss) ถูกติดตั้งเพื่อให้หัวเจาะผลักต้านดังแสดงไว้ใน รูปที่ 3.17 เนื่องจากพื้นที่ในสถานีปล่อยหัวเจาะ (Launching shaft) ค่อนข้างมีอยู่จำกัด อุปกรณ์ควบคุมหัวเจาะยังต้องติดตั้งไว้บนพื้นดินโดยใช้สายเคเบิลเชื่อมต่อกับหัวเจาะในอุโมงค์ โดยเมื่อการก่อสร้างอุโมงค์เสร็จสิ้นไป 60 วัน พนังอุโมงค์ อุปกรณ์ควบคุมจึงจะถูกนำมาติดตั้งในอุโมงค์ ภายหลังจากที่กระบวนการก่อติดตั้งหัวเจาะได้เสร็จสิ้นลง หัวเจาะจึงได้เริ่มตัดกำแพงพืดอย่างช้าๆแสดงไว้ใน รูปที่ 3.18



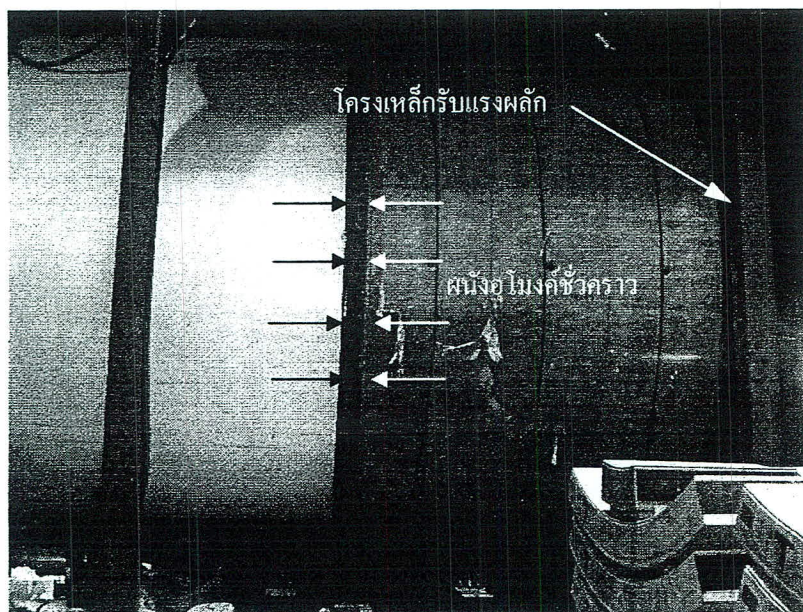
รูปที่ 3.16 การเตรียมช่องเปิดบนกำแพงพีด



รูปที่ 3.17 โครงเหล็กรับแรงผลักที่ติดตั้งในช่วงเริ่มต้นของการขุดเจาะอุโมงค์



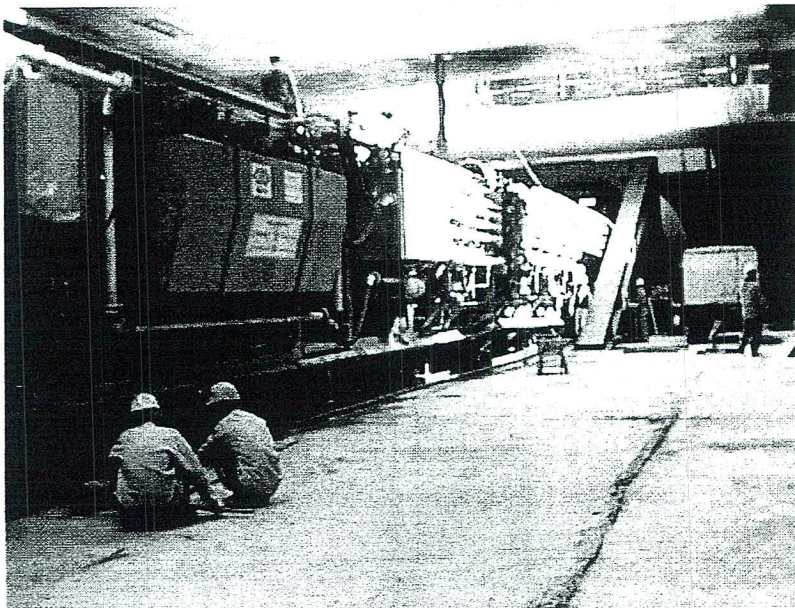
รูปที่ 3.18 หัวเจาอุโมงค์กำลังเคลื่อนตัวผ่านผนังกำแพงพีดของสถานีสูนย์วัฒนธรรมฯ



รูปที่ 3.19 ผนังอุโมงค์ชั่วคราว

ช่วงเริ่มต้นของการขุดเจาอุโมงค์ (Initial drive zone) กือ ช่วงระยะการขุดเจาของหัวเจาจากส่วนเริ่มต้นซึ่งหัวเจาต้องการโครงสร้างชั่วคราว เช่น โครงเหล็กรับแรงผลัก (Reaction truss) แสดงไว้ใน รูปที่ 3.19 ไปจนถึงระยะที่ไม่มีความจำเป็นต้องใช้อุปกรณ์สนับสนุน และอุปกรณ์ควบคุมสามารถนำมาติดตั้งไว้ภายในอุโมงค์ได้ โดยทั่วไป ช่วงเริ่มต้นการขุดเจาอุโมงค์จะมีระยะ

ประมาณ 70 ถึง 120 เมตร (ประมาณ 60 ถึง 100 วังผังอุโมงค์หรือรอบของการขุดเจาะ) ซึ่งจะขึ้นอยู่กับความยาวของอุปกรณ์สนับสนุนและกระบวนการควบคุมของหัวเจาะ หลังจากที่หัวเจาะไปถึงจุดสิ้นสุดของช่วงเริ่มต้นการขุดเจาะอุโมงค์ หัวเจาะจะหยุดการทำงานชั่วคราวเพื่อรื้อถอนผนังอุโมงค์ชั่วคราวและ โครงเหล็กรับแรงผลักออก จากนั้นอุปกรณ์สนับสนุนจะถูกนำลงมาติดตั้งภายในอุโมงค์ด้านหลังหัวเจาะ รถรางอุปกรณ์อาจต้องการพื้นที่ยาวถึง 100 ถึง 120 เมตรด้านหลังหัวเจาะดังแสดงไว้ใน รูปที่ 3.20

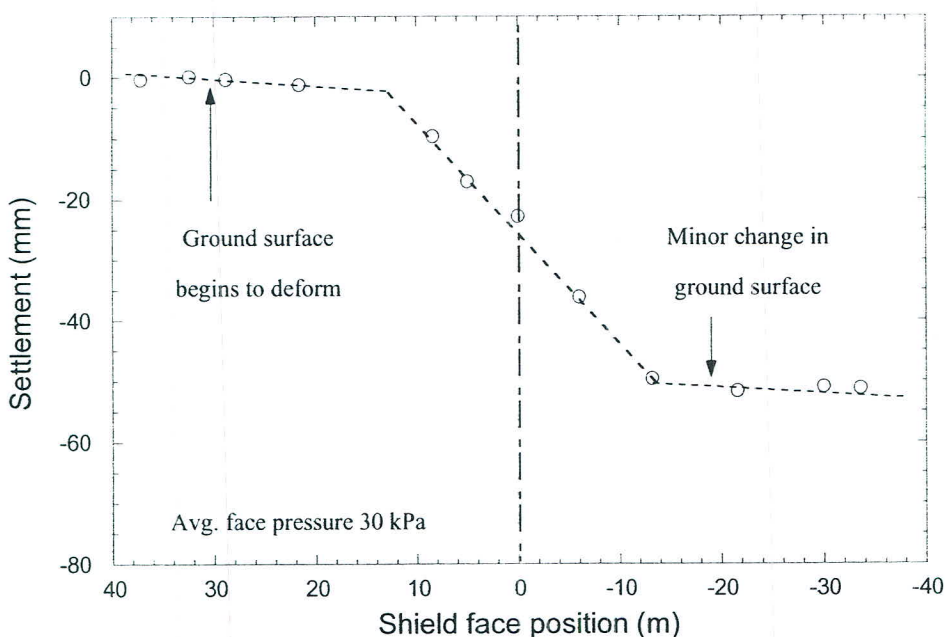


รูปที่ 3.20 อุปกรณ์สนับสนุนหลังหัวเจาะอุโมงค์

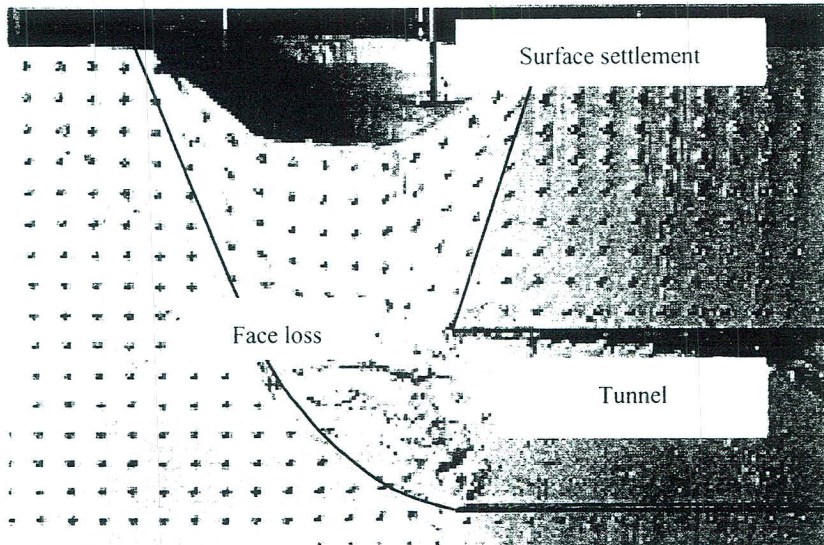
ระหว่างการขุดเจาะ แรงผลักจากแม่แรงไฮดรอลิกที่ใช้ผลักหัวเจาะให้เคลื่อนที่ไปข้างหน้ามีแรงสูงถึง 4,000 ตัน ดังนั้น ผนังอุโมงค์จำนวนมากที่ติดตั้งไว้มีความจำเป็นที่จะสามารถด้านหน้าต่อแรงเฉือนที่เกิดขึ้น ในส่วน A ของโครงการรถไฟฟ้าได้คืนสายเคลิมรัชมกุล ช่วงเริ่มต้นการขุดเจาะ จะไปสิ้นสุดที่ผนังอุโมงค์กว้างที่ 60 หรือที่ระยะ 72 เมตรจากสถานีปลายทางหัวเจาะ ภายในช่วงนี้หัวเจาะอุโมงค์ไม่สามารถใช้แรงผลักที่สูงจากแม่แรงไฮดรอลิกได้ เนื่องจากผนังอุโมงค์ชั่วคราวไม่ได้ถูกออกแบบมาให้ทนต่อแรงผลักที่สูง ส่งผลกระทบต่อการควบคุมความดันหน้าหัวเจาะในช่วงเริ่มต้นการขุดเจาะ เพราะแรงผลักมีความสัมพันธ์กับความดันหน้าหัวเจาะ ดังนั้น ในส่วน A จึงต้องคำนึงถึงหน้าหัวเจาะ ได้เพียง 30 ถึง 60 กิโลเมตร ด้วยเหตุนี้ ดินโดยรอบจึงสามารถเคลื่อนตัวเข้าสู่ส่วนหน้าของหัวเจาะส่งผลทำให้เกิดการสูญเสียมวลดินขึ้น

ข้อมูลการทรุดตัวของผิวดิน ได้ถูกเทียบกับตำแหน่งของหัวเจาะดังแสดงไว้ใน รูปที่ 3.21 ผิวดินจะเริ่มเสียรูปในระยะประมาณ 30 เมตร ก่อนที่หัวเจาะเข้าสู่ตำแหน่งอุโมงค์กว้างที่ 49 เมื่อหัวเจาะ

เคลื่อนเข้าไปใกล้กับตำแหน่งดังกล่าว การทรุดตัวของผิวดินจะเพิ่มขึ้นเรื่อยๆ อย่างต่อเนื่อง หลังจากนั้นการทรุดตัวของผิวดินจะเริ่มหยุดลงหลังจากที่หัวเจาะผ่านอุ่อมค์วที่ 49 ออกไปเป็นระยะ 15 เมตร การทรุดตัวของผิวดินหนีอตำแหน่งอุ่อมค์วที่ 49 อยู่ในตำแหน่ง a แสดงไว้ในรูปที่ 3.15 ก) ความดันหน้าหัวเจาะที่ใช้ในส่วนนี้มีค่าเฉลี่ยอยู่ที่ 30 กิโลปascala โดยรูปที่ 3.21 สังเกตให้เห็นว่า การทรุดตัวของผิวดินจะเกิดขึ้นในปริมาณที่สูงบริเวณราบด้านหน้าของหัวเจาะ สอดคล้องกับผลการทดลองของ Kimura and Mair (1981) แสดงไว้ในรูปที่ 3.22 ซึ่งคืนมีแนวโน้มที่จะเคลื่อนตัวไปทางปากอุ่อมค์ จากผลการทดสอบแบบหมุนเวียน(Centrifuge test) การเคลื่อนตัวของคืนในลักษณะนี้ จะเห็นได้ชัดจากผิวดินซึ่งพบการทรุดตัวของผิวดินเป็นบริเวณกว้าง การเคลื่อนตัวของคืนมีลักษณะเป็นรูปคลื่นสามเหลี่ยม หรือที่เรียกว่า แนวอิทธิพลจากการสูญเสียมวลคืนหน้าหัวเจาะ (Face loss impact zone) แสดงไว้ในรูปที่ 3.23



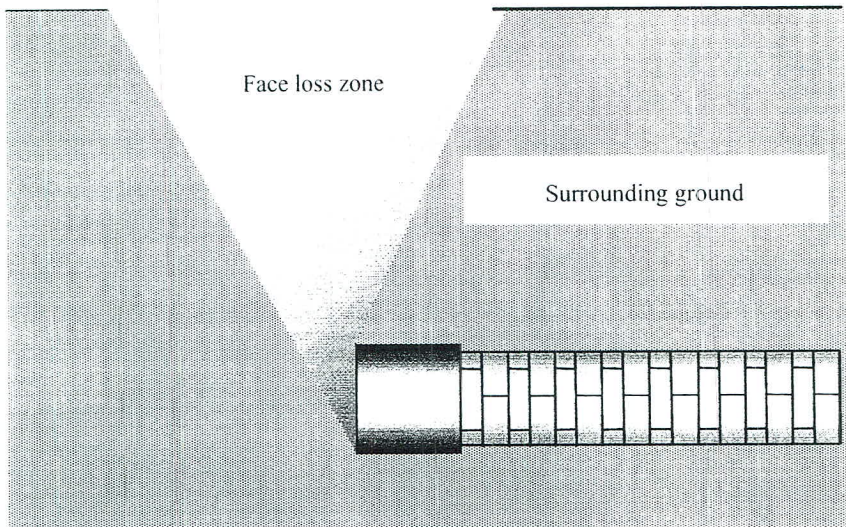
รูปที่ 3.21 การทรุดตัวตามแนวยาวของผิวดินที่วัดในช่วงเริ่มต้นการขุด (ผนังอุ่อมค์วที่ 49)



รูปที่ 3.22 พฤติกรรมการพังทลายของดินหน้าอุโมงค์ภายใต้การทดสอบแบบหมุนเหวี่ยง

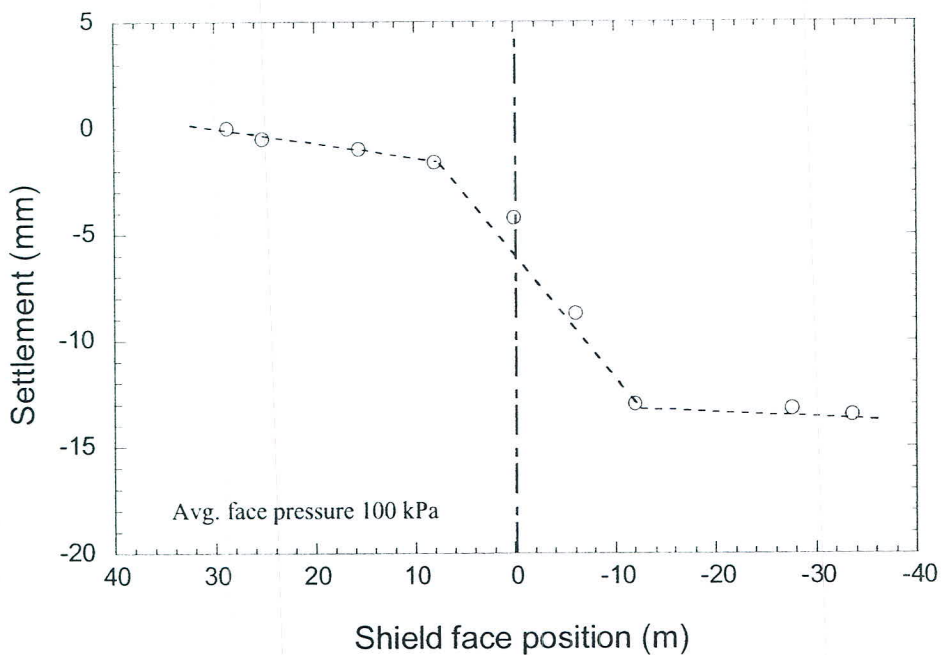
Kimura and Mair (1981)

การทดสอบดังกล่าวมีพื้นฐานมาจากการจำลองการใช้หัวเจาะค้ำยันแบบหน้าเปิด ไม่ใช่หัวเจาะแบบปรับแรงดันดินสมดุล ดังที่ใช้ในโครงการรถไฟฟ้าใต้ดินสายเฉลิมรัชมงคล อย่างไรก็ตาม เมื่อใช้ความดันหน้าหัวเจาะที่ต่ำ หัวเจาะแบบปรับแรงดันดินสมดุลจะมีพฤติกรรมคล้ายกับหัวเจาะค้ำยันแบบหน้าเปิดซึ่งส่งผลให้ดินมีการเคลื่อนตัวไปทางปากอุโมงค์ นอกจากนี้ จากการสังเกตการทรุดตัวของผิวดินในโครงการรถไฟฟ้าใต้ดินสายเฉลิมรัชมงคลจะมีลักษณะเป็นบริเวณกว้าง และขยายไปจนถึงเหนือหัวเจาะแต่จะหยุดการทรุดตัวที่ระยะประมาณ 15 เมตร (ประมาณ 2 เท่าของเส้นผ่าศูนย์กลางของหัวเจาะ) จากด้านหน้าหัวเจาะ และจากจุดนี้ไปการทรุดตัวของผิวดินจะมีค่าเปลี่ยนแปลงเพียงเล็กน้อยเท่านั้น

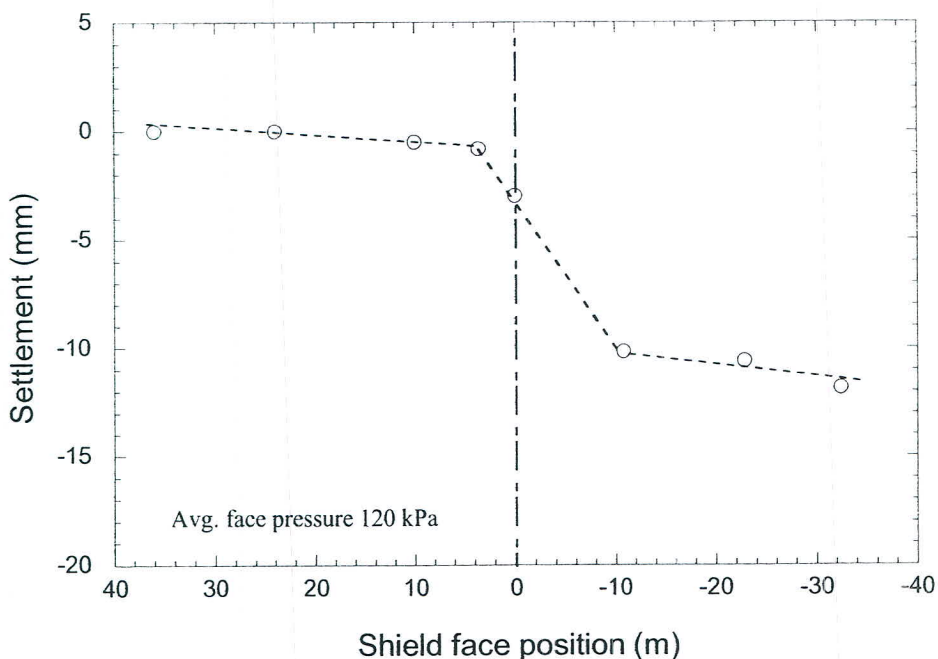


รูปที่ 3.23 รูปแบบการเคลื่อนตัวของดินบริเวณหน้าหัวเจาะ

หลังจากที่หัวเจาะเคลื่อนตัวออกไปเป็นระยะ 72 เมตร จากสถานีปล่อยหัวเจาะ และมีการติดตั้งผนังอุโมงค์ไป 60 วง หัวเจาะจะหยุดทำงาน รถรางสำหรับอุปกรณ์สนับสนุนจะถูกติดตั้งขึ้นภายในอุโมงค์ และโครงสร้างชั่วคราวทั้งหมดจะถูกรื้อถอนออก ถือว่าเป็นจุดสิ้นสุดของช่วงเริ่มต้นการขุด (Initial drive) และหัวเจาะจะเริ่มกลับมาทำงานอีกครั้ง ตั้งแต่ตำแหน่งนี้ไป หัวเจาะจะสามารถเพิ่มความดันหน้าหัวเจาะได้ถึง 180 กิโลปascal และคงไว้ใน รูปที่ 3.15 ก) ที่ตำแหน่ง b และ c โดย รูปที่ 3.15 ก) ได้ถูกเลือกขึ้นมาเพื่อที่จะอธิบายความสัมพันธ์ระหว่างการทรุดตัวของผิวดินและความดันหน้าหัวเจาะ โดยความดันหน้าหัวเจาะเฉลี่ยระหว่างที่หัวเจาะผ่านเข้ามาอยู่ที่ตำแหน่ง b มีค่าประมาณ 100 กิโลปascal และตำแหน่ง c มีค่าประมาณ 120 กิโลปascal การทำงานจะอยู่ในระบบปรับแรงดันดินสมดุลซึ่งเป็นระบบที่การทรุดตัวของผิวดินจะสามารถมีค่าลดลงได้โดยการปรับความดันหน้าหัวเจาะให้เท่ากับความดันของดินโดยรอบระหว่างการขุดเจาะ การทรุดตัวของผิวดินและตำแหน่งด้านหน้าของหัวเจาะ ณ ตำแหน่ง b และ c แสดงไว้ใน รูปที่ 3.24 และ รูปที่ 3.25 ตามลำดับ การทรุดตัวของผิวดินมากที่สุดอยู่ที่ 13 มิลลิเมตร ที่ตำแหน่ง b และ 11 มิลลิเมตร ที่ตำแหน่ง c และเห็นได้ชัดเจนว่า ห้องส่องตำแหน่งนี้มีการทรุดตัวของผิวดินน้อยกว่าในตำแหน่ง a (การทรุดตัวของผิวดินประมาณ 50 มิลลิเมตร) ซึ่งเป็นบริเวณที่ใช้ความดันหน้าหัวเจาะที่ต่ำ ดังนั้น ความดันหน้าหัวเจาะจึงมีผลกระทบต่อระดับการทรุดตัวของผิวดินอย่างเห็นได้ชัด ผู้ปฏิบัติงานจึงต้องใช้ความรอบคอบในการควบคุมความดันหน้าหัวเจาะเพื่อลดการทรุดตัวของผิวดิน



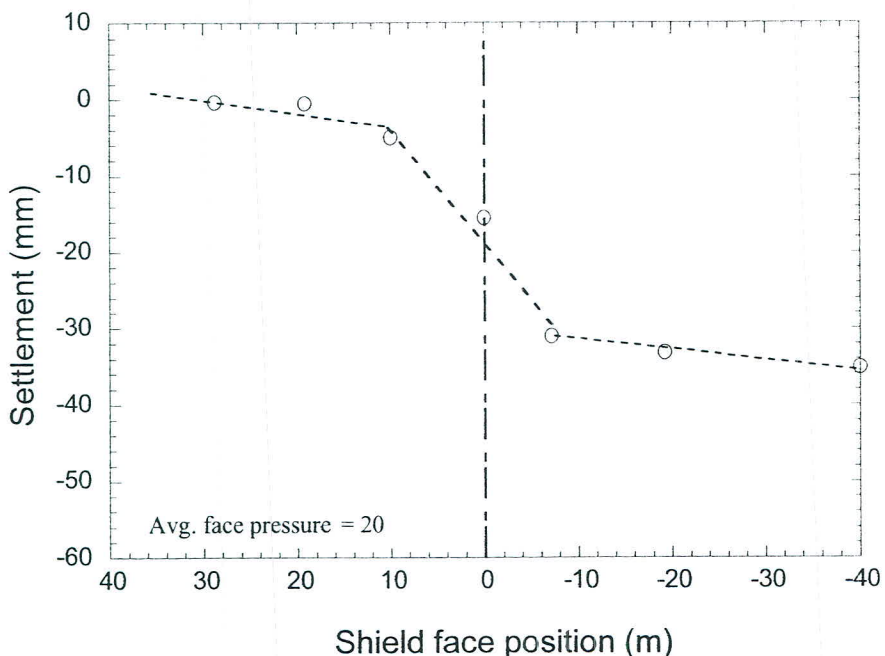
รูปที่ 3.24 การทรุดตัวตามแนวยาวของดินวัด ณ ตำแหน่ง b (ผนังอุปโภค์ว่างที่ 101)



รูปที่ 3.25 การทรุดตัวตามแนวยาวของดินวัด ณ ตำแหน่ง c (ผนังอุปโภค์ว่างที่ 164)

ต่อมาหลังจากทำการติดตั้งผนังอุปโภค์ว่างที่ 177 ได้เสร็จสิ้นลง มอเตอร์หมุนหัวตัดดิน ได้รับความเสียหาย โดยทำให้หัวตัดดินไม่สามารถหมุนไปได้ที่ความดันที่ต้องการและทำให้ระดับของความดันหน้าหัวเจาะลดลงอย่างรวดเร็วเรียกว่า “ช่วงสูญเสียความดัน” (Pressure loss zone) และดังไว้ใน รูปที่ 3.15 ข) ภายใต้บริเวณนี้จะพบ การทรุดตัวของผิวดินเป็นบริเวณกว้าง

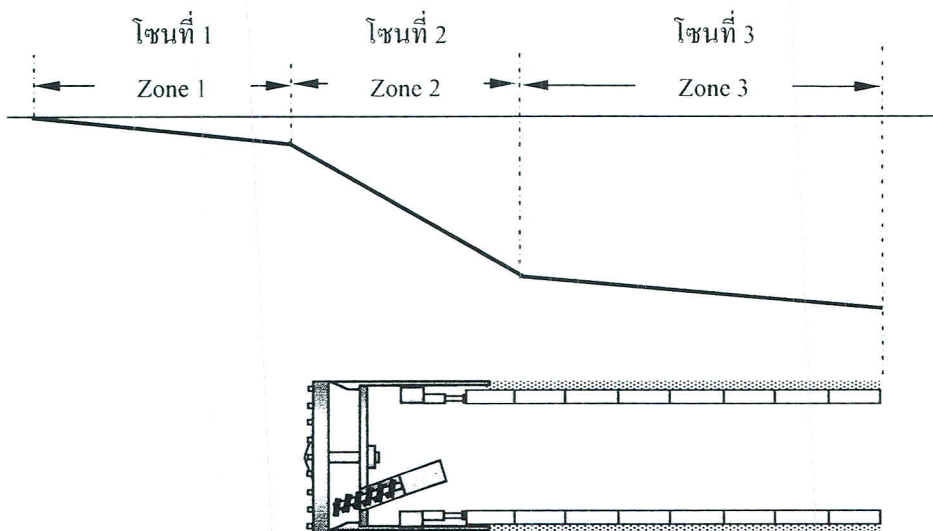
ที่ตำแหน่ง d แสดงไว้ใน รูปที่ 3.15 ก) ซึ่งให้เห็น จุดสังเกตที่ตำแหน่งอุปโภค์ว่างที่ 208 ในบริเวณโซนสูญเสียความดัน การทรุดตัวของผิวดินมากที่สุดคือ 35 มิลลิเมตร และดังไว้ใน รูปที่ 3.26 มากกว่าค่าที่วัดได้ ณ ตำแหน่ง b และ c ที่หัวเจาะทำงานอยู่ในระบบปรับแรงดันดินสมดุล ซึ่งไม่เพียงแต่จะมีการทรุดตัวของผิวดินเป็นบริเวณกว้าง แต่ยังพบการเคลื่อนตัวของดินด้านหน้าของหัวเจาะอีกด้วย พฤติกรรมของดินในลักษณะนี้คล้ายคลึงกับที่สังเกตได้จากตำแหน่ง a รูปที่ 3.15 อย่างไรก็ตาม ในทุกๆ กรณี รูปแบบของการทรุดตัวตามยาวของผิวดินค่อนข้างจะมีลักษณะที่คล้ายคลึงกัน



รูปที่ 3.26 การทรุดตัวตามแนวยาวของดินวัด ณ ตำแหน่ง d (ผนังอุปโภค์ว่างที่ 208)

จากข้อสังเกตนี้ การทรุดตัวของผิวดินจากการบุคเจาะอุปโภค์ด้วยหัวเจาะแบบปรับแรงดันดินสมดุล สามารถแบ่งออกได้เป็น 3 โซนตามระดับของความดันหน้าหัวเจาะ ได้แก่ 1) โซนที่ 1 2) โซนที่ 2 และ 3) โซนที่ 3 แสดงไว้ใน รูปที่ 3.27 โดย “โซนที่ 1” คือ ระยะเริ่มต้น (ตำแหน่งที่มีการติดตั้งหมุดวัดการทรุดตัวผิวดิน) อยู่ที่ประมาณ 30 เมตรก่อนที่หัวเจาะจะเคลื่อนที่เข้ามา การทรุดตัว

ก็เริ่มที่จะเกิดขึ้น ณ ตำแหน่งเริ่มต้นดังกล่าว หลังจากนั้นปริมาณการทรุดตัวจะเพิ่มขึ้นเรื่อยๆ จนถึงที่ระยะประมาณ 10 เมตร วัดจากระยะระหว่างตำแหน่งที่มีการติดตั้งหมุดวัดการทรุดตัวที่ผิวดินและส่วนหน้าของหัวเจาะ การทรุดตัวผิวดินจะถูกเร่งให้เกิดขึ้นในปริมาณที่สูงมาก ในช่วงนี้จะเห็นเส้นแนวโน้มของการทรุดตัวที่ผิวดินที่มีความชันเพิ่มขึ้นอย่างเห็นได้ชัดเจนใน รูปที่ 3.27 นั้นแสดงให้เห็นว่า เป็นจุดเปลี่ยนของ “โซนที่ 1” เข้าสู่ “โซนที่ 2” หลังจากนั้นเมื่อหัวเจาะเคลื่อนที่ผ่านตำแหน่งที่มีการติดตั้งหมุดวัดการทรุดตัวผิวดินออกไป (ประมาณ 15 เมตรจากส่วนหน้าของหัวเจาะ) การทรุดตัวที่ผิวดินก็มีแนวโน้มลดลงเข้าสู่ “โซนที่ 3” เป็นการทรุดตัวผิวดินในส่วนสุดท้าย และจะหยุดการเกิดการทรุดตัวที่ระยะประมาณ 30 เมตร หลังจากที่หัวเจาะผ่านไปจากหมุดวัดการทรุดตัวผิวดิน

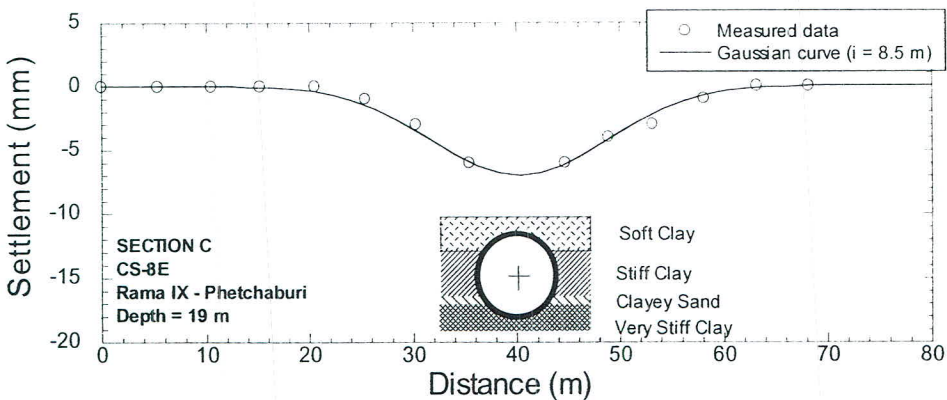


รูปที่ 3.27 แผนภาพแสดงรูปตัดการทรุดตัวที่ผิวดินตามแนวยาวที่เกิดจากการก่อสร้างอุโมงค์

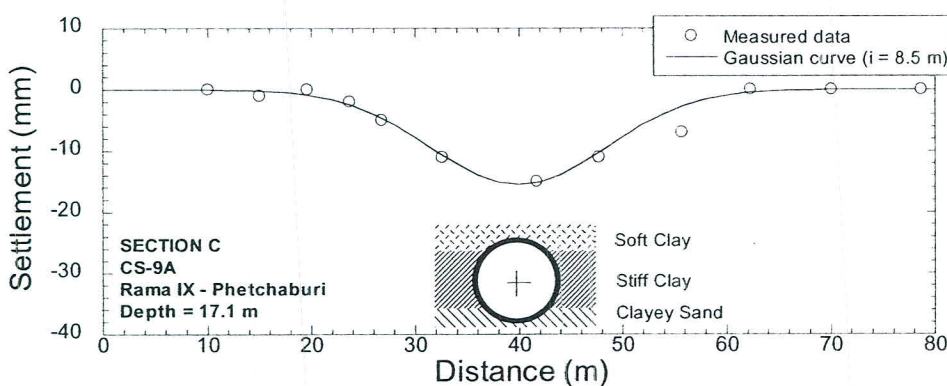
### 3.5.2 การทรุดตัวของผิวดินตามแนวขวาง (Transverse surface settlements) จากการขุดเจาะอุโมงค์เดี่ยว

การขุดเจาะอุโมงค์ด้วยหัวเจาะทำให้เกิดการทรุดตัวของผิวดิน ซึ่งระดับการทรุดตัวของผิวดินขึ้นอยู่กับปัจจัยหลายประการ และค่อนข้างที่จะคาดการณ์ได้ยาก จากหลายกรณีศึกษาและการสังเกตในโครงการก่อสร้างอุโมงค์รถไฟฟ้าได้คืนสายเฉลิมรัชมงคล พบร่วมกับ การทรุดตัวของผิวดินไม่เพียงแต่จะเกิดขึ้นตามแนวยาวเท่านั้น แต่ยังเกิดแนวการทรุดตัวตามแนวขวาง (Transverse surface settlements) ซึ่งทำให้การเคลื่อนตัวของดินเป็นร่องตื้น (Trough) ออกทางด้านข้าง ในโครงการรถไฟฟ้าได้คืนสายเฉลิมรัชมงคล การทรุดตัวของดินตามแนวขวางถูกวัดด้วยแนวหมุดวัดการทรุด

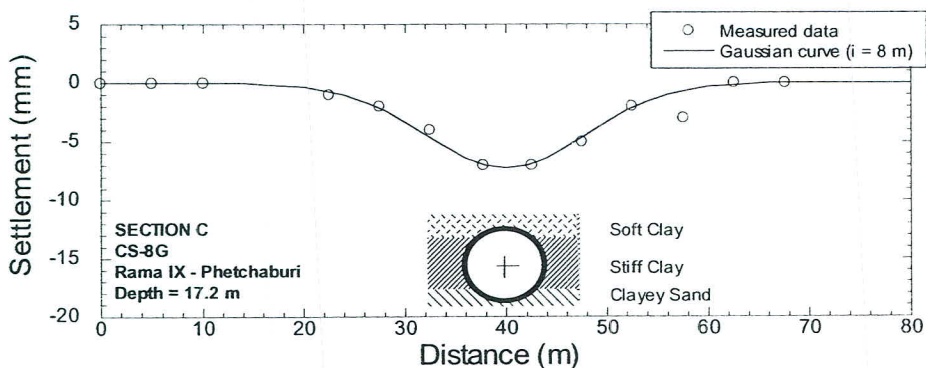
ตัวผิวดิน (Surface settlement array) ที่ติดตั้งเหนือแนวอุโมงค์ ตัวอย่างแนวการทรุดตัวเหนืออุโมงค์ เดียวแสดงไว้ใน รูปที่ 3.28 ถึงรูปที่ 3.32



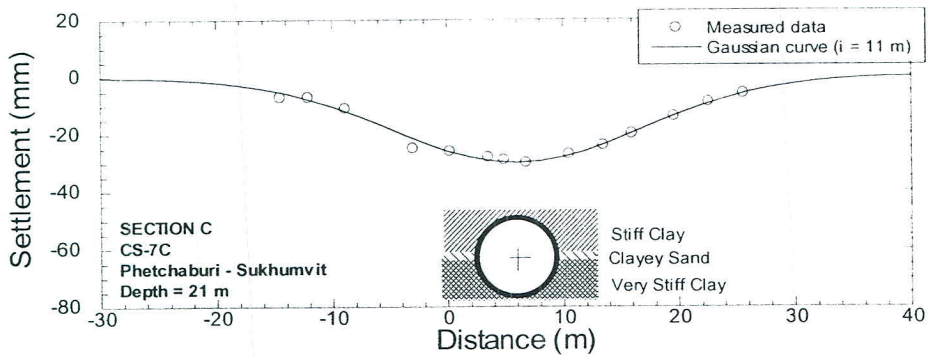
รูปที่ 3.28 แนวการทรุดตัวของผิวดินวัดจากแนวหมุดวัดการทรุดตัวที่ตำแหน่ง CS-8E



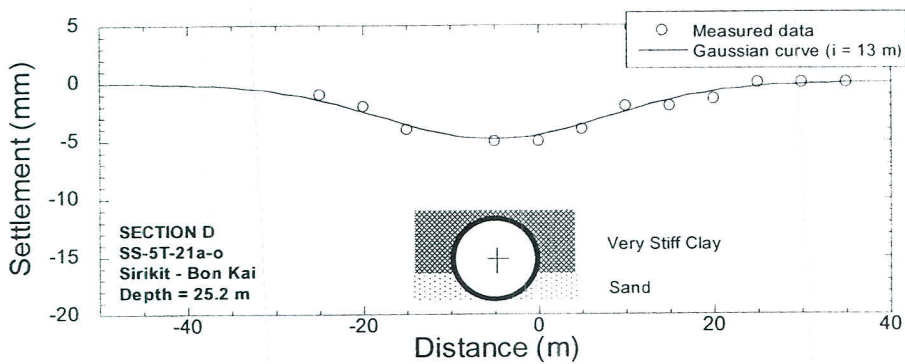
รูปที่ 3.29 แนวการทรุดตัวของผิวดินวัดจากแนวหมุดวัดการทรุดตัวที่ตำแหน่ง CS-9A



รูปที่ 3.30 แนวการทรุดตัวของผิวดินวัดจากแนวหมุดวัดการทรุดตัวที่ตำแหน่ง CS-8G



รูปที่ 3.31 แนวการทรุดตัวของผิวดินวัดจากแนวหนดวัดการทรุดตัวที่ทำแน่น CS-7C



รูปที่ 3.32 แนวการทรุดตัวของผิวดินวัดจากแนวหนดวัดการทรุดตัวที่ทำแน่น SS-5T-21a-o

จากรูปดังกล่าวพบว่า แนวการทรุดตัวของผิวดินเนื่องจากอุ่นคงส่วนมากค่อนข้างจะสมมาตรกับแนวกึ่งกลางอุ่นคง ดังนั้น กราฟความน่าจะเป็นหรือ Gaussian curve ซึ่งเป็นวิธีการที่นิยมมากที่สุดในการประมาณรูปร่างการทรุดตัวของผิวดินที่เกิดขึ้นการบดเจาะอุ่นคง สามารถนำมาใช้ประมาณแนวการทรุดตัวของผิวดินได้ดังแสดงไว้ใน รูปที่ 3.33 โดยใช้สมการของ Peck (1969) และ O'Reilly and New (1982) จากสมการ (3.5) ถึงสมการ (3.7)

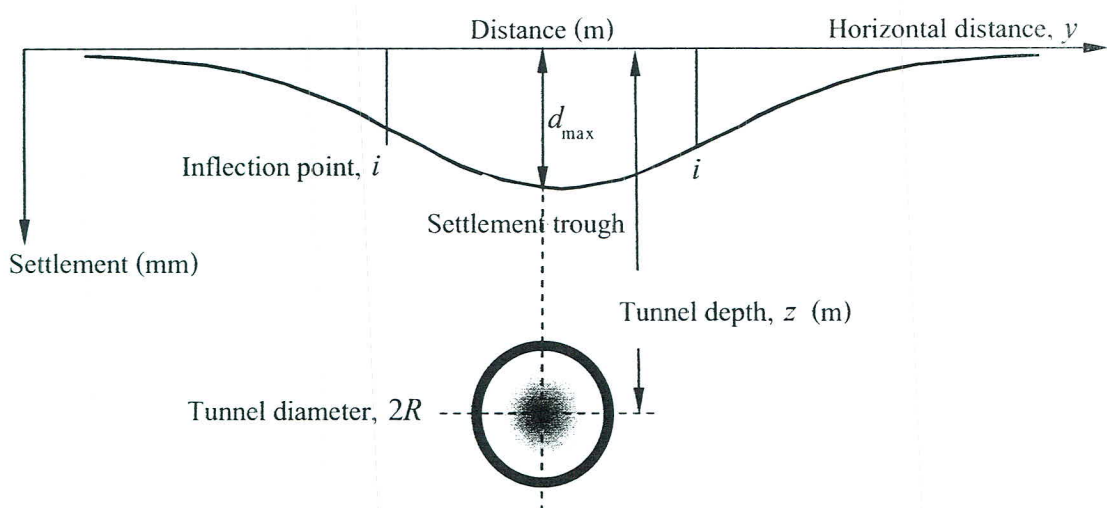
$$V_s = 2.5i \delta_{max} \quad (3.5)$$

$$V_s = \frac{G.L\%}{100} \left( \pi \frac{D^2}{4} \right) \quad (3.6)$$

$$i = Kz \quad (3.7)$$

### โดยที่

- $V_s$  คือปริมาตรการทรุดตัวของอุ่มคง ( $m^3$ )
- $\delta_{max}$  คือการทรุดตัวที่ผิวดินหนืดอุ่มคง ( $m$ )
- $i$  คือระยะจากจุดศูนย์กลางอุ่มคงถึงจุดโค้งกลับของแนวการทรุดตัว (Inflection point)
- $G.L\%$  คือเปอร์เซ็นต์การสูญเสียมวลดิน
- $D$  คือเส้นผ่านศูนย์กลางของอุ่มคง ( $m$ )
- $z$  คือความลึกถึงจุดกึ่งกลางอุ่มคงจากผิวดิน ( $m$ )
- $K$  คือค่าคงที่โดยเท่ากับ 0.5 สำหรับการก่อสร้างอุ่มคงในสภาพชั้นดินหนียาอ่อน-ชั้นดินหนียาแข็ง และการก่อสร้างอุ่มคงในสภาพชั้นดินหนียาแข็ง 0.4 สำหรับการก่อสร้างอุ่มคงในสภาพชั้นดินหนียาแข็ง-ชั้นดินราย และ 0.3 สำหรับการก่อสร้างอุ่มคงในสภาพชั้นดินราย



รูปที่ 3.33 การใช้กราฟความน่าจะเป็นปกติประมาณแนวการทรุดตัวของผิวดินหนืดอุ่มคงเดียว

จุดโค้งกลับของแนวการทรุดตัว (Inflection point,  $i$ ) สำหรับการขุดเจาะอุ่มคงในชั้นดินหนียา สามารถหาได้โดยการประมาณจากสมการที่เสนอโดย O'Reilly and New (1982) การเก็บรวบรวมข้อมูลการทรุดตัวของผิวดินจากโครงการรถไฟฟ้าใต้ดินสายเฉลิมรัชมงคลทำการตรวจวัดที่ระยะประมาณ 30 เมตร หลังจากที่หัวเจาะผ่านไปจากหมุดวัดการทรุดตัวผิวดิน ซึ่งถือว่าเป็นจุดที่การทรุดตัวของผิวดินมีค่ามากที่สุด ( $\delta_{max}$ ) โดยหลังจากนี้จะมีการเปลี่ยนแปลงน้อยมากดังที่ได้อธิบายไว้ในหัวข้อก่อนหน้านี้ โดยไม่ได้นำการทรุดตัวเนื่องจากการอัดตัวดินน้ำของดิน (Consolidation settlement) ที่เป็นการทรุดตัวของผิวดินที่เกิดในช่วงระยะเวลาพิจารณา ซึ่งอาจจะ

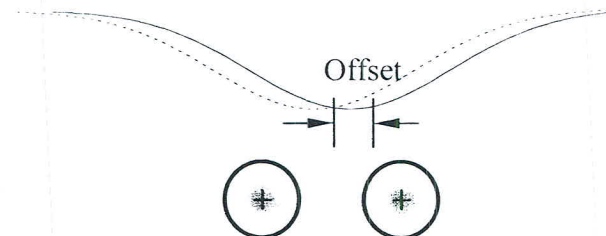
มีผลต่อการทรุดตัวของผิวดิน เช่นเดียวกัน ดังที่ได้อธิบายไว้โดย Mair and Taylor (1997) โดยการทรุดตัวของผิวดินจะค่อยๆ เพิ่มขึ้นจากการทรุดตัวทันทีทันใด (Immediate settlement) ภายหลังจากการก่อสร้าง

### 3.5.3 การทรุดตัวของผิวดินตามแนววาง (Transverse surface settlements) จากการขุดเจาะอุโมงค์

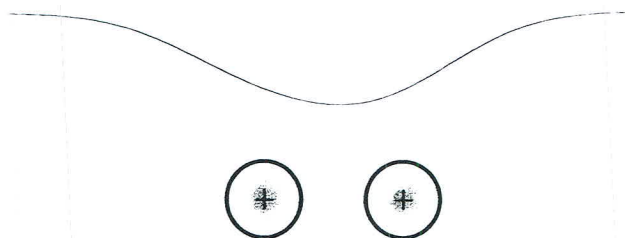
การทรุดตัวของผิวดินที่เกิดขึ้นจากการก่อสร้างอุโมงค์เป็นปัญหาหลัก ที่วิศวกรพยายามที่จะหารือป้องกัน โดยเฉพาะอย่างยิ่ง การก่อสร้างอุโมงค์ในเขตเมืองเพื่อใช้เป็นระบบขนส่งมวลชนขนาดใหญ่ ซึ่งการก่อสร้างส่วนใหญ่จะเป็นอุโมงคู่ (Twin tunnels) เพื่อให้รถไฟฟ้าได้ดินสามารถวิ่งไปและกลับได้ตลอดแนวเส้นทางดังเช่น ในโครงการรถไฟฟ้าได้ดินสายเฉลิมรัชมงคล ซึ่งเป็นโครงการรถไฟฟ้าได้ดินสายแรกของกรุงเทพฯ รูปแบบการทรุดตัวของผิวดินที่เกิดจากการขุดเจาะอุโมงค์นี้จะมีความแตกต่างจากการทรุดตัวของผิวดินที่เกิดจากอุโมงค์เดียว (Single tunnel) ที่ได้แสดงไว้ในรูปที่ 3.33 ซึ่งการทรุดตัวของผิวดินจากการขุดเจาะอุโมงคู่ จะมีแนวการทรุดตัวของผิวดินที่ขยายกว้าง หรือทำให้บริเวณที่มีผลกระทบต่อโครงสร้างของระบบรถไฟฟ้า (Influence zone) เกิดขึ้นมากกว่าการขุดเจาะอุโมงค์เดียว อีกทั้งการประมาณแนวการทรุดตัวของผิวดินที่เกิดจากอุโมงคู่ ยังคงเป็นปัญหาที่สำคัญ เพราะมักจะขึ้นอยู่กับปัจจัยหลายด้าน เช่น การสูญเสียมวลดิน (Ground loss) ที่แตกต่างกันระหว่างอุโมงค์ตัวแรกและอุโมงค์ตัวที่สอง ดังนั้น หัวข้อนี้จึงได้นำเสนอวิธีการที่สามารถประมาณแนวการทรุดตัวของผิวดินจากอุโมงคู่ เพื่อประโยชน์ต่อการออกแบบและความคุณภาพการก่อสร้างอุโมงค์และมีรายละเอียดดังต่อไปนี้

#### 1) รูปแบบของการทรุดตัวของผิวดินเหนืออุโมงค์

จากการศึกษาพฤติกรรมของดิน และรูปแบบการทรุดตัวของผิวดินเหนืออุโมงค์ของโครงการก่อสร้างรถไฟฟ้าได้ดินในเมืองชิกาโก Peck (1969) มีการตั้งข้อสังเกตเกี่ยวกับการสูญเสียมวลดิน (Ground loss) ว่าการสูญเสียมวลดินมักจะเกิดขึ้นขณะทำการก่อสร้างอุโมงค์ตัวที่สองมากกว่าอุโมงค์ตัวแรก และแนวการทรุดตัวของผิวดินจะมีลักษณะสมมาตร โดยมีจุดกึ่งกลางการทรุดตัวของผิวดินยื่งศูนย์ (Offset) มาทางอุโมงค์ตัวที่สองแสดงไว้ในรูปที่ 3.34 ก) ทั้งนี้เนื่องจากการขุดเจ้าอุโมงค์ตัวแรกจะรบกวน (Disturbance) โครงสร้างของดินบริเวณรอบอุโมงค์และส่งอิทธิพลเป็นบริเวณกว้าง ซึ่งอาจทำให้เกิดการสูญเสียมวลดินมากขึ้นขณะทำการขุดเจ้าอุโมงค์ที่สอง และหากอุโมงค์ทั้งสองอยู่ชิดกันมาก จะทำให้แนวการทรุดตัวของผิวดินมีลักษณะสมมาตร โดยมีจุดกึ่งกลางการทรุดตัวอยู่ตรงกลางระหว่างอุโมงค์ทั้งสองพอดี



(ก) แนวการทรุดตัวของผิวดินแบบสมมาตรเมื่อยื่งคุณภาพดีขึ้น



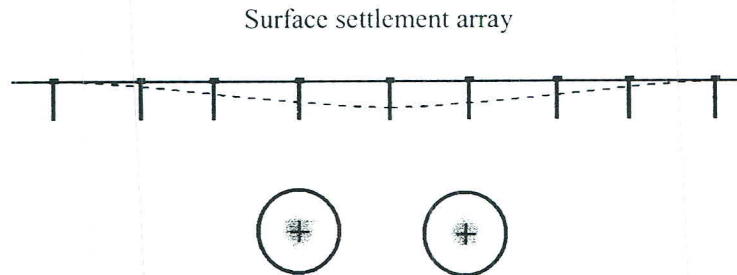
(ข) แนวการทรุดตัวของผิวดินแบบไม่สมมาตร

รูปที่ 3.34 รูปแบบแนวการทรุดตัวของผิวดินเหนืออุโมงค์

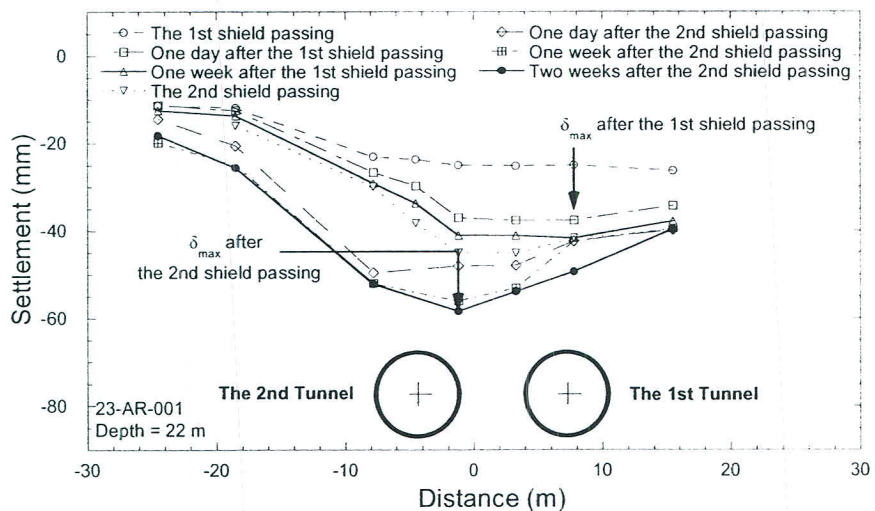
อย่างไรก็ตาม かるคำนึงว่าการก่อสร้างอุโมงค์คู่จากข้อสังเกตดังกล่าวใช้หัวเจาะที่ขึ้นแบบหน้าเปิด (Open-face shield) โดยใช้แบบอัดอากาศ (Compressed air) ช่วยป้องกันการพังทลายของดิน ซึ่งการขุดเจาะอุโมงค์ด้วยวิธีนี้แตกต่างกับวิธีที่ใช้ในปัจจุบันโดยสิ้นเชิง ซึ่งปัจจุบันนิยมใช้หัวเจาะแบบปรับแรงดันดินสมดุล (Earth pressure balance shield) โดยหัวเจาะอุโมงค์แบบนี้เหมาะสมกับการขุดเจาะอุโมงค์ในดินอ่อน ที่สามารถควบคุมการสูญเสียมวลดินได้ดีกว่า และมีผลกระทบต่อสภาพดินข้างเคียงน้อยกว่าการขุดเจาะอุโมงค์ด้วยหัวเจาะที่ขึ้นแบบหน้าเปิด ดังที่ได้สังเกตแนวการทรุดตัวของผิวดินเหนืออุโมงค์ที่ถูกขุดเจาะด้วยหัวเจาะแบบปรับแรงดันดินสมดุล ขณะทำการก่อสร้างอุโมงค์ไฟฟ้าใต้ดินที่ประเทศสิงคโปร์ที่เสนอโดย Shirlaw et al (1988) พบว่าแนวการทรุดตัวของผิวดินจะมีลักษณะไม่สมมาตรตามรูปที่ 3.34 (ข)

## 2) ผลการวัดการทรุดตัวของผิวดินในโครงการรถไฟฟ้าใต้ดินสายเฉลิมรัชมงคล

ขณะดำเนินการก่อสร้างโครงการรถไฟฟ้าใต้ดินสายเฉลิมรัชมงคล ได้มีการวัดแนวการทรุดตัวของผิวดินด้วยแนวหมุดวัดการทรุดตัวของผิวดิน (Surface settlement array) ที่ติดตั้งไว้ที่ผิวดินเหนืออุโมงค์แสดงไว้ใน รูปที่ 3.35 ผลการเก็บรวบรวมข้อมูลบางส่วนแสดงไว้ใน รูปที่ 3.36 ถึงรูปที่ 3.38

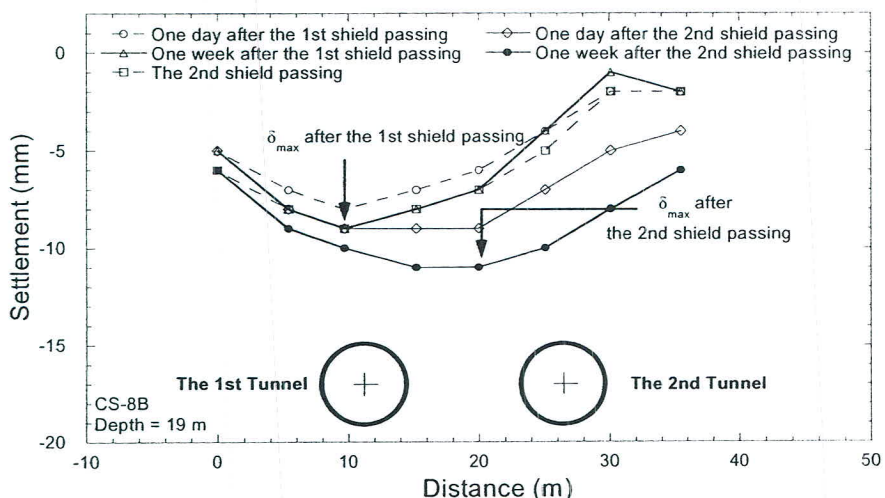


รูปที่ 3.35 ตำแหน่งแนวหนุกด้วยการทruzดตัวผิวดิน (Surface settlement array) เหนืออุโมงค์

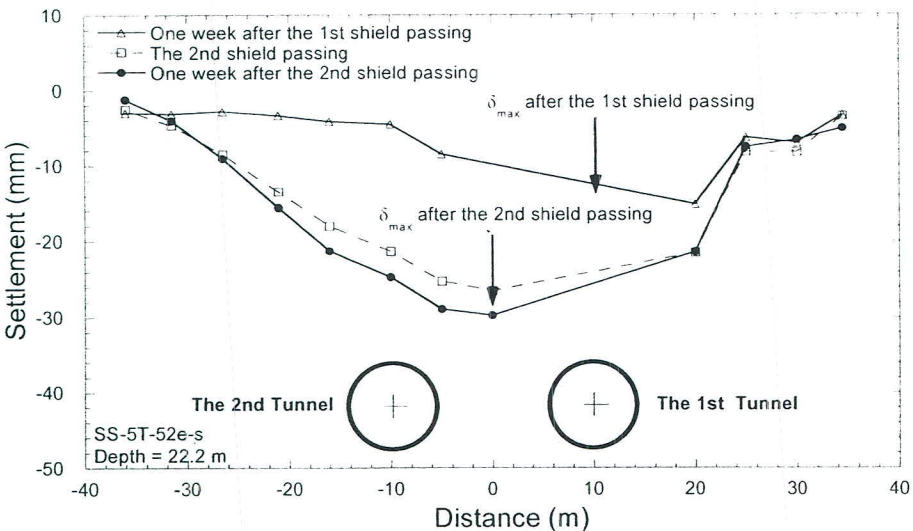


รูปที่ 3.36 การทruzดตัวของผิวดินวัดด้วยแนวหนุกด้วยการทruzดตัวที่ตำแหน่ง 23-AR-001

เหนืออุโมงค์



รูปที่ 3.37 การทruzดตัวของผิวดินวัดด้วยแนวหนุกด้วยการทruzดตัวที่ตำแหน่ง CS-8B เหนืออุโมงค์



รูปที่ 3.38 การทรุดตัวของผิวดินวัดด้วยแนวหมุดวัดการทรุดตัวที่ดำเนินการ SS-5T-52e-s

เหนืออุโมงค์

จากการตรวจสอบพบว่า คืนเริ่มทรุดตัวขณะที่หัวเจาะตัวแรกผ่านตำแหน่งที่ติดตั้งแนวหมุดวัดการทรุดตัวและจะทรุดตัวลงเรื่อยๆ ถึงประมาณหนึ่งสัปดาห์หลังจากหัวเจาะตัวแรกได้เคลื่อนผ่านพื้นไปแล้ว เมื่อหัวเจาะตัวที่สองเริ่มเข้าใกล้ตำแหน่งแนวหมุดวัดการทรุดตัว คืนจะทรุดตัวลงอีกรั้งหนึ่ง โดยมีพฤติกรรมเช่นเดียวกับที่หัวเจาะตัวแรกผ่าน การทรุดตัวนี้จะหยุดลงเมื่อหัวเจาะเคลื่อนผ่านไปแล้ว ประมาณหนึ่งสัปดาห์ เช่นกัน รูปแบบแนวการทรุดตัวของผิวดินที่เกิดจากการเจาะอุโมงค์ดังตัวอย่างที่แสดงใน รูปที่ 3.36 ถึงรูปที่ 3.38 มีลักษณะค่อนข้างไม่สมมาตรและบังสังเกตได้ว่า จุดที่ทรุดตัวสูงสุดไม่จำเป็นต้องอยู่บนตำแหน่งกึ่งกลางระหว่างอุโมงค์ตามที่เสนอโดย Peck (1969) และได้ตั้งชื่อสังเกตไว้ว่าอีกทั้งการทรุดตัวที่เกิดขึ้นเนื่องจากการขุดเจาะอุโมงค์ตัวที่สองอาจมีขนาดมากกว่า หรือน้อยกว่าการทรุดตัวที่เกิดขึ้นจากอุโมงค์ตัวแรก ทั้งนี้ขึ้นอยู่กับการควบคุมหัวเจาะ ดังนั้น สมการ Gaussian จึงไม่สามารถนำมาใช้ประมาณแนวการทรุดตัวของผิวดินเนื่องจากอุโมงค์ได้

### 3.5.4 การเคลื่อนตัวทางด้านข้างของคืนที่เกิดจากการขุดเจาะอุโมงค์ (Lateral ground deformation)

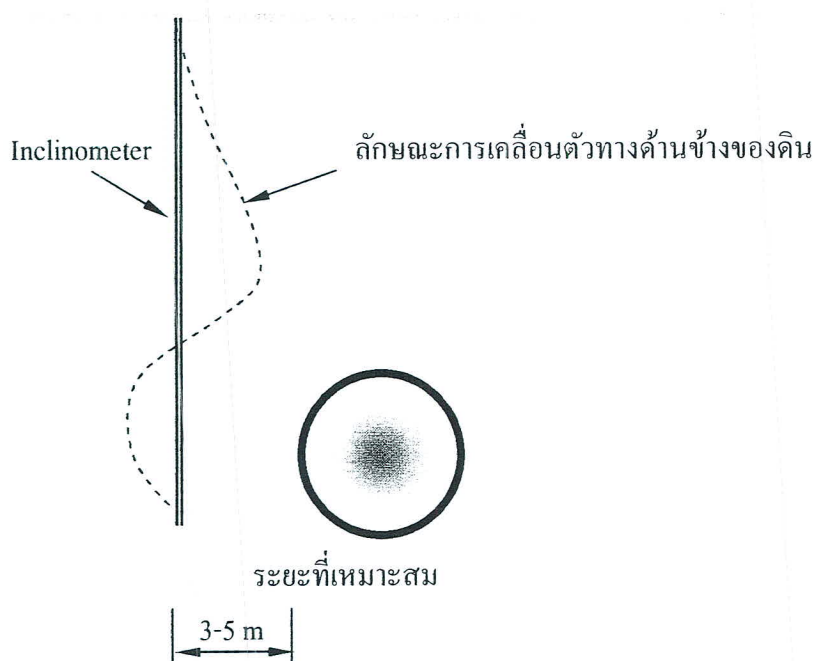
ผลกระทบจากการก่อสร้างอุโมงค์ในคืนอ่อนด้วยหัวเจาะอุโมงค์แบบปรับแรงดันคืนสมดุลในโครงการรถไฟดินสายเฉลิมรัชมงคลนั้น ได้มีการติดตั้งเครื่องมือวัดการเคลื่อนตัวทางด้านข้าง (Inclinometer) บริเวณหลายจุดตลอดแนวการก่อสร้างอุโมงค์ ทั้งนี้จะนำมาสู่ความเข้าใจถึงสาเหตุ

ของการเคลื่อนตัวของดิน และวิธีป้องกันในอนาคต Suwansawat (2004) ได้ทำการศึกษาการเคลื่อนตัวของดินจากโครงการดังกล่าว ซึ่งมีรายละเอียดดังต่อไปนี้

### 1) การเคลื่อนตัวทางด้านข้างของดิน

การตรวจวัดการเคลื่อนตัวของดินทำได้โดยการติดตั้งเครื่องมือวัดการเคลื่อนตัวทางด้านข้าง (Inclinometer) ซึ่งจะทำการวัดระยะการเคลื่อนตัวทางด้านข้างของดินตลอดแนวการก่อสร้างอุโมงค์ โดยทำการติดตั้งห่างจากผนังอุโมงค์ในระยะตั้งแต่ 3 ถึง 5 เมตร และคงไว้ใน รูปที่ 3.39

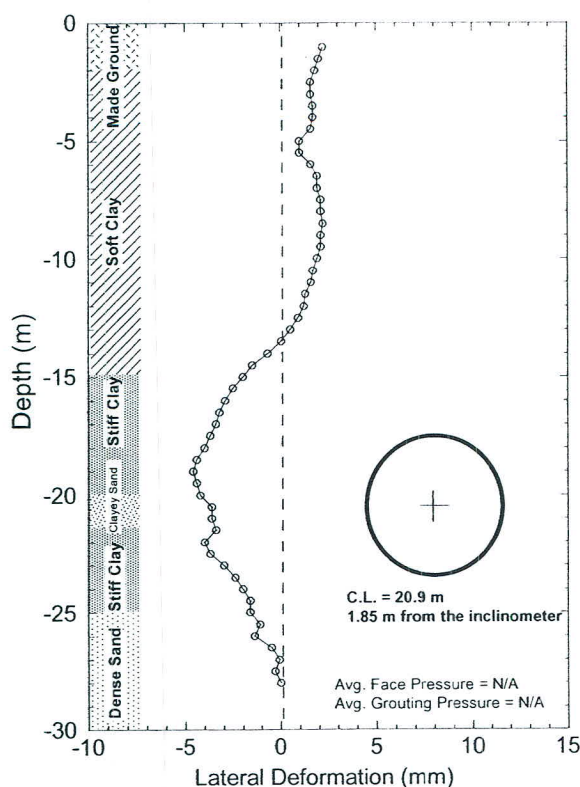
จากการตรวจพบว่า ดินบริเวณส่วนยอดของอุโมงค์จะเคลื่อนตัวเข้าหาอุโมงค์ และดินที่อยู่ร่องดับต่ำกว่าส่วนยอดของอุโมงค์จะเคลื่อนตัวออกจากอุโมงค์แสดงไว้ใน รูปที่ 3.40 และรูปที่ 3.41 รูปแบบการเคลื่อนตัวทางด้านข้างของดินลักษณะนี้จะมีความสัมพันธ์กับกระบวนการขุดเจาะ อุโมงค์ด้วยหัวเจาะแบบปรับแรงดันดินสมดุล ซึ่งสามารถอธิบายโดยการสร้างกราฟแสดงความสัมพันธ์ระหว่างการเคลื่อนตัวของดินในรูปที่ 3.42 และตำแหน่งของหัวเจาะอุโมงค์เทียบกับตำแหน่งของเครื่องมือตรวจวัด แสดงไว้ใน รูปที่ 3.43 เมื่อทำการวิเคราะห์โดยละเอียดจะพบว่า ณ ตำแหน่งหนึ่งของอุโมงค์ จะสามารถแบ่งการเคลื่อนตัวทางด้านข้างของดินออกเป็น 3 โซน เช่นเดียวกับการทruzดตามแนวยาว ได้แก่ โซนที่ 1 โซนที่ 2 และโซนที่ 3 ตามลำดับ โดยโซนที่ 1 จะเป็นช่วงที่หัวเจาะอุโมงค์เริ่มขุดเจาะเข้าไป ตำแหน่งการตรวจวัด ซึ่งจะสังเกตได้ว่า ดินเริ่มมีการเคลื่อนตัวเข้าหาอุโมงค์ เมื่อหัวเจาะอยู่ ณ ตำแหน่งประมาณ 13 เมตร จากเครื่องมือตรวจวัด หรือประมาณสองเท่าของเส้นผ่าศูนย์กลางอุโมงค์ การเคลื่อนตัวดังกล่าวจะเพิ่มขึ้นเรื่อยๆ เมื่อหัวเจาะเคลื่อนตัวเข้าหาตำแหน่งที่ติดตั้งเครื่องมือตรวจวัด



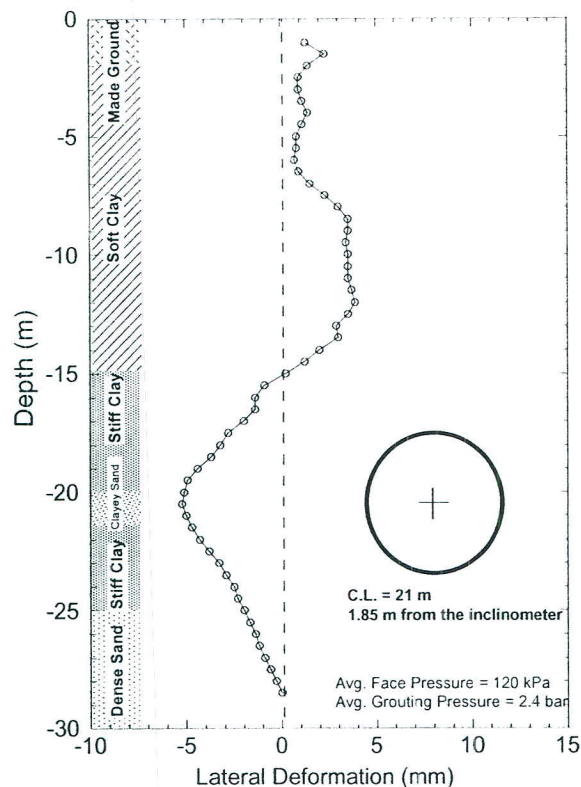
รูปที่ 3.39 ตำแหน่งการติดตั้งเครื่องมือวัดการเคลื่อนตัวทางด้านข้างของดิน (Inclinometer)

ระหว่างที่หัวเจาะอุโมงค์เคลื่อนผ่านตำแหน่งการตรวจวัด (ตำแหน่ง C ถึงตำแหน่ง F ใน รูปที่ 3.43) ดินจะเคลื่อนตัวมากขึ้นอย่างทันทีทันใดแสดงไว้ใน รูปที่ 3.42 ซึ่งเป็นการเคลื่อนตัวในโซนที่ 2 (Zone 2) การเคลื่อนตัวทางด้านข้างของดินเข้าหาอุโมงค์จะมากที่สุดในชั้นนี้ อย่างไรก็ตาม หลังจากหัวเจาะอุโมงค์ได้เคลื่อนผ่านจุดนี้ไปแล้ว และมีการอัดฉีดน้ำปูนรอบผนังอุโมงค์เสร็จ สมบูรณ์แล้ว การเคลื่อนตัวของดินทางด้านข้างเข้าหาอุโมงค์จะน้อยลง ซึ่งเป็นการเคลื่อนตัวของดินในโซนที่ 3 (Zone 3) จากการวิเคราะห์ดังกล่าวจึงสามารถสรุปได้ว่า การเคลื่อนตัวทางด้านข้างของดินเข้าหาอุโมงค์จะเกิดมากที่สุดในระหว่างที่หัวเจาะเคลื่อนตัวผ่านตำแหน่งการตรวจวัดหรือในโซนที่ 2 (Zone 2) นั่นเอง

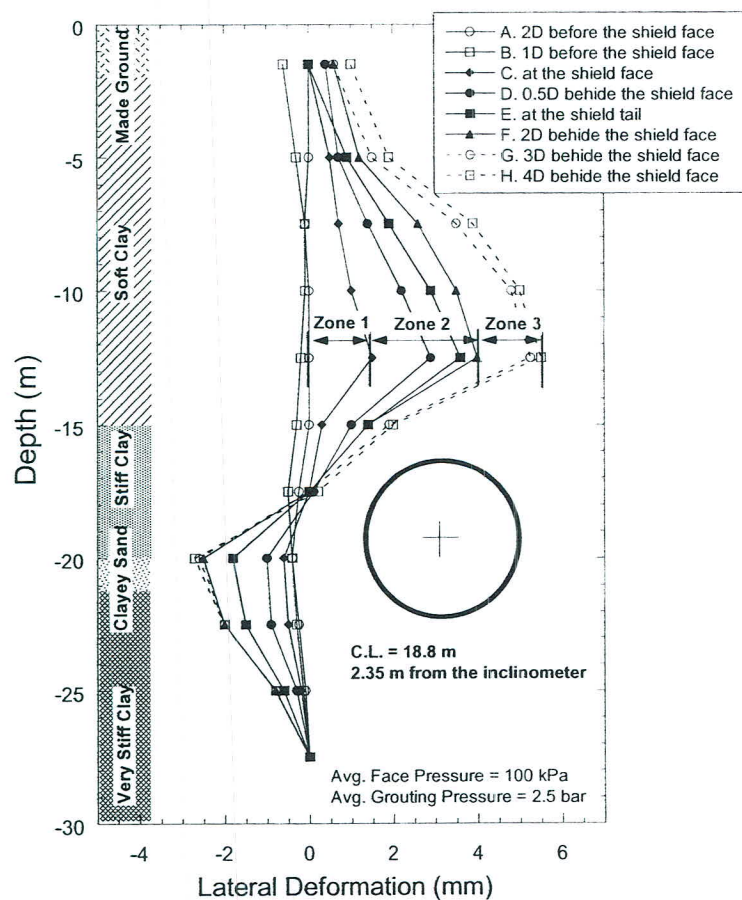
เมื่อวิเคราะห์การเคลื่อนตัวของดินในระดับที่ต่ำกว่าส่วนยอดอุโมงค์พบว่า ดินจะเคลื่อนตัวออกจากอุโมงค์เล็กน้อยขณะที่หัวเจาะเคลื่อนเข้าสู่ตำแหน่งตรวจวัด และดินจะเคลื่อนตัวออกเรื่อยๆ เมื่อหัวเจาะอุโมงค์เคลื่อนตัวผ่านตำแหน่ง E ดังรูปที่ 3.43 โดยที่ส่วนท้ายหัวเจาะ (Shield tail) จะเกิดการเคลื่อนตัวออกของดินมากขึ้น ทั้งนี้เนื่องจากเป็นตำแหน่งที่มีการอัดฉีดน้ำปูนเพื่อปิดช่องว่าง ส่วนท้ายหัวเจาะ ซึ่งปกติจะใช้ความดันประมาณ 2.5 ถึง 3 บาร์ การเคลื่อนตัวออกของดินจะเพิ่มขึ้น จนกระทั่งหัวเจาะเคลื่อนตัวผ่านไปเป็นระยะอย่างน้อย 13 เมตร หรือประมาณสองเท่าของเส้นผ่าศูนย์กลางอุโมงค์แสดงไว้ใน รูปที่ 3.42



รูปที่ 3.40 การเคลื่อนตัวทางด้านข้างของดินที่ตำแหน่ง IN-T7-03

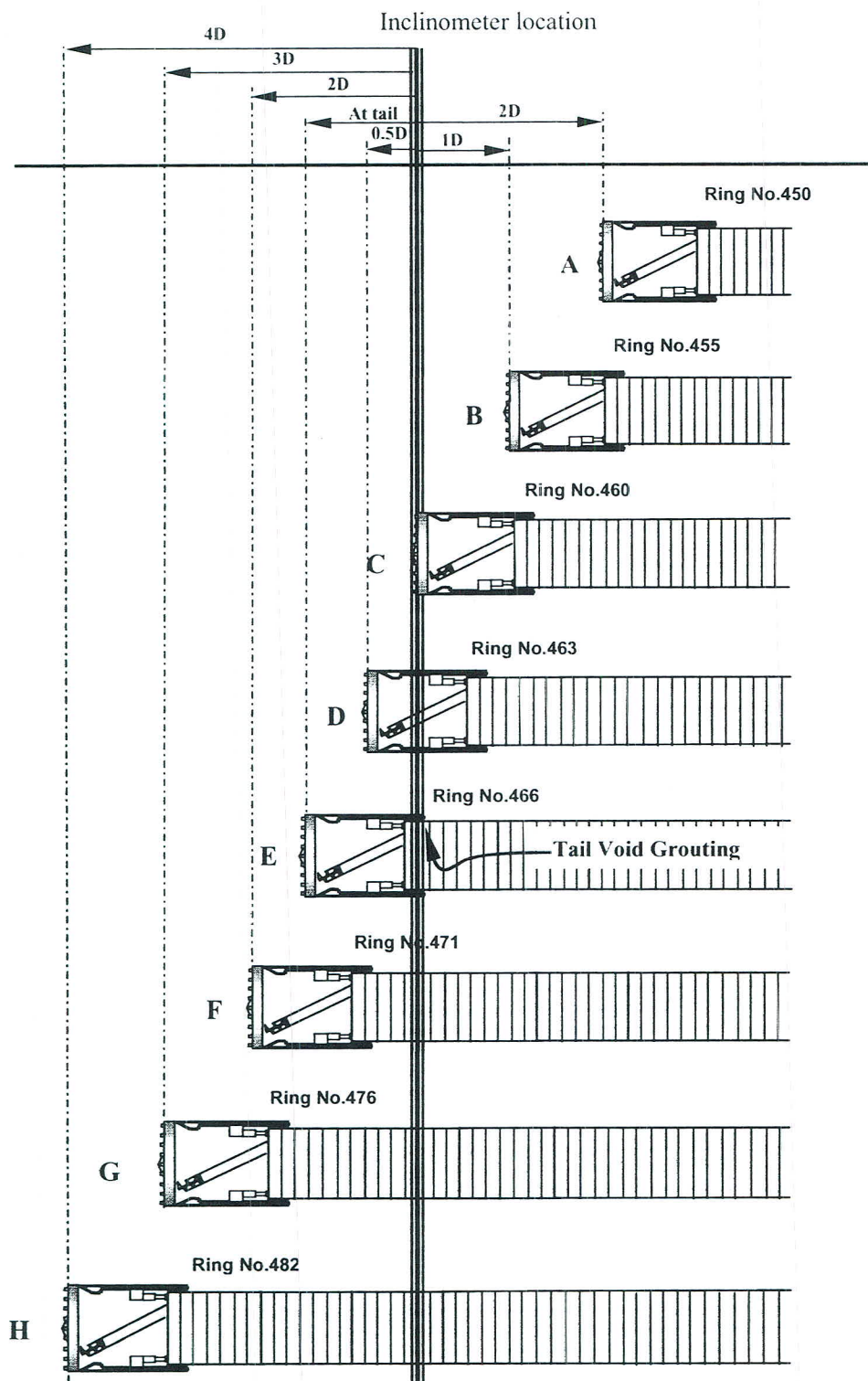


รูปที่ 3.41 การเคลื่อนตัวทางด้านข้างของคันทีทำแน่น IN-T7-05

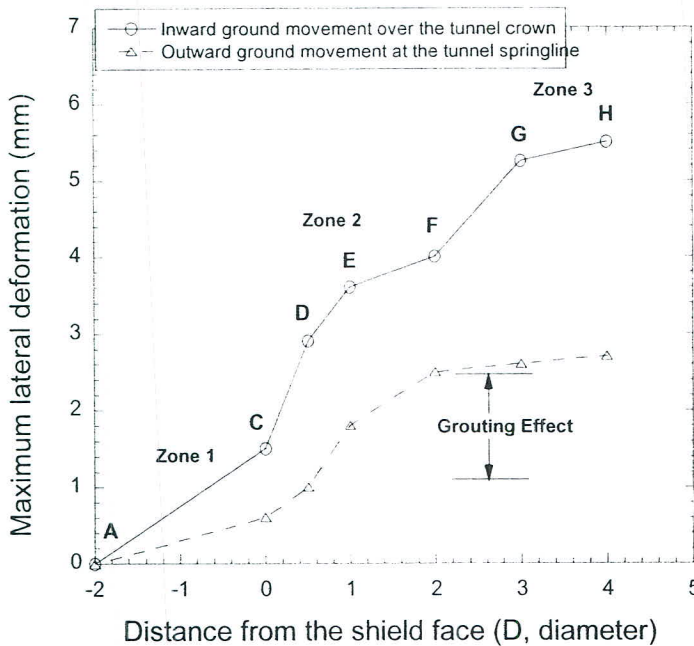


รูปที่ 3.42 การเคลื่อนตัวทางด้านข้างของคันทีทำแน่น IN-T7-04

กราฟความสัมพันธ์ระหว่างตำแหน่งของหัวใจกับการเคลื่อนตัวทางด้านข้างของคินแสดงไว้ในรูปที่ 3.44 ช่วยให้สามารถวิเคราะห์ปัจจัยที่ก่อให้เกิดการเคลื่อนตัวทางด้านข้างของคินในแต่ละตำแหน่งที่หัวใจแบบปรับแรงดันสมดุลเคลื่อนที่ผ่าน โดยอ้างอิงจากตำแหน่งที่ทำการติดตั้งเครื่องมือวัดการเคลื่อนตัวทางด้านข้าง (Inclinometer) ทั้งส่วนที่คินเคลื่อนเข้าสู่อุ่น (*Inward ground movement*) บริเวณส่วนยอดของอุ่น และส่วนที่คินเคลื่อนที่ออกจากร่อง (*Outward ground movement*) บริเวณระดับที่ต่ำกว่าส่วนยอดของอุ่นซึ่งจะมีลักษณะเป็นขอบเขตที่ชัดเจนในแต่ละโซนที่ได้ทำการแบ่งเอาไว้ ในการนี้การเคลื่อนตัวของคินเข้าสู่อุ่นจะเพิ่มขึ้นสูงสุดในโซนที่ 2 (Zone 2) คือ ขณะที่หัวใจกำลังเคลื่อนตัวผ่านตำแหน่งที่มีการติดตั้งเครื่องมือวัดการเคลื่อนตัวทางด้านข้าง โดยจะพบการเคลื่อนตัวของคินมีแนวโน้มเคลื่อนเข้าสู่อุ่นคือย่างเห็นได้ชัดในตำแหน่ง C ไปยังตำแหน่ง D แล้วการเคลื่อนตัวจะค่อยๆ ลดลงในตำแหน่ง D ไปยังตำแหน่ง F ต่อมานแนวโน้มการเคลื่อนตัวจะสูงขึ้นอีกรึ่งในตำแหน่ง F ไปยังตำแหน่ง G แล้วก็จะมีการเคลื่อนตัวของคินเข้าสู่อุ่นที่ลดลงเมื่อหัวใจอยู่ห่างจากตำแหน่ง G ออกไป ในการนี้การเคลื่อนตัวของคินออกจากอุ่นจะสังเกตได้ชัดเจนในขณะที่ทำการอัดฉีดน้ำปูนในตำแหน่ง D ไปยังตำแหน่ง F ซึ่งจะพบแนวโน้มของการเคลื่อนตัวของคินที่ค่อนข้างสูงโดยการเคลื่อนตัวทางด้านข้างของคินจะสิ้นสุดหรือลดลงในโซนที่ 3 (Zone 3) หลังจากที่หัวใจเคลื่อนผ่านออกไปแล้ว



รูปที่ 3.43 ตำแหน่งของหัวเจาะอุโมงค์ขณะเคลื่อนที่ผ่านเครื่องมือวัดการเคลื่อนตัวทางด้านข้าง



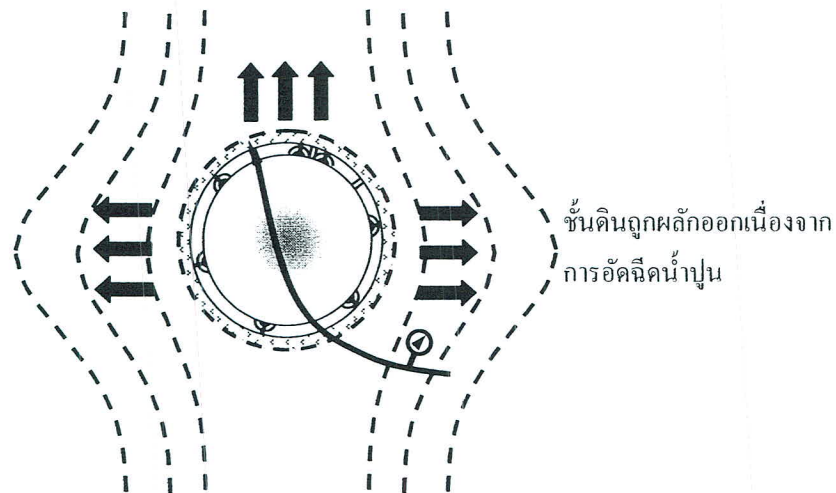
รูปที่ 3.44 ความสัมพันธ์ระหว่างตำแหน่งของหัวเจาะอุโมงค์กับการเคลื่อนตัวทางด้านข้างของดิน

## 2) ผลกระทบจากการอัดฉีดน้ำปูนบริเวณส่วนท้ายหัวเจาะ (Tail void grouting)

เมื่อหัวเจาะอุโมงค์แบบปรับแรงดันดินสมดุล ถูกออกแบบมาเพื่อช่วยลดการสูญเสียมวลดินขณะทำการก่อสร้างอุโมงค์ แต่ยังคงยากที่จะหลีกเลี่ยงปัญหาดังกล่าวได้อย่างสมบูรณ์ โดยเฉพาะใน การก่อสร้างอุโมงค์ที่มีเส้นผ่าศูนย์กลางขนาดใหญ่พบว่า ดินยังคงเคลื่อนตัวเข้าหาอุโมงค์ทั้งทาง ส่วนหน้าอุโมงค์ (Tunnel face) และเหนือหัวเจาะอุโมงค์ (Over shield) โดยเฉพาะในขณะที่หัวเจาะ อุโมงค์เคลื่อนตัวผ่านตำแหน่งตรวจวัด นอกจากนี้ ขณะทำการติดตั้งผังอุโมงค์จะเกิดช่องว่าง บริเวณส่วนท้ายหัวเจาะจากความแตกต่างของขนาดเส้นผ่าศูนย์กลางหัวเจาะและอุโมงค์ ซึ่งว่าง ดังกล่าวจะมีขนาดประมาณ 7 ถึง 8 เซ็นติเมตร ซึ่งถ้าหากปล่อยไว้จะเกิดการเคลื่อนตัวของดินเข้าหา อุโมงค์ในปริมาณมาก ก่อให้เกิดปัญหาทั้งการทรุดตัวของผิวดินและการเคลื่อนตัวทางด้านข้างของ ดิน โดยการเคลื่อนตัวของดินเข้าหาอุโมงค์จะมีลักษณะเป็นลิ่มสามเหลี่ยมเหนือผังอุโมงค์

ในอดีตการเคลื่อนตัวของดินเข้าหาอุโมงค์จะเกิดขึ้น เนื่องจากช่องว่างบริเวณส่วนท้ายหัวเจาะ เป็นหลัก อย่างไรก็ตาม ในปัจจุบันการอัดฉีดน้ำปูนด้วยความดันที่สูงเพื่อส่งน้ำปูนออกไปปิด ช่องว่างดังกล่าว ได้ถูกนำมาใช้อย่างได้ผล การเคลื่อนตัวของดินเข้าหาอุโมงค์ในโซนที่ 3 (Zone 3) จึงน้อยลง แม้ว่าการอัดฉีดน้ำปูนจะลดการเคลื่อนตัวเข้าของดิน แต่ก็สามารถส่งผลกระทบในทาง ตรงกันข้ามได้เช่นกัน จากผลของการวัดด้วยเครื่องมือวัดการเคลื่อนตัวทางด้านข้าง (Inclinometer) สังเกตได้อย่างชัดเจนว่า ความดันของการฉีดน้ำปูนจะผลักดินบริเวณโดยรอบอุโมงค์ด้วยความดันที่ สูงซึ่งพฤติกรรมดังกล่าวแสดงไว้ใน รูปที่ 3.45 อิทธิพลจากความดันของการฉีดน้ำปูนนี้จะส่งผล กระทบต่อการเคลื่อนตัวทางด้านข้างของดินเป็นระยะเวลากลางปี 6 เมตรจากตำแหน่งที่ทำ

การอัดฉีดน้ำปูน หรือคั่งแต่ในตำแหน่ง D ลึกลำบาก F แสดงไว้ใน รูปที่ 3.43 การวิเคราะห์หาความสัมพันธ์ระหว่างความดันของการฉีดน้ำปูนและขนาดการเคลื่อนตัวทางด้านข้างของดินออกจากอุโมงค์แสดงไว้ใน ตารางที่ 3.2 โดยได้เปรียบเทียบระหว่างอัตราส่วนของความดันของการฉีดน้ำปูนต่อระยะจากขอบอุโมงค์ที่มีผลต่อการเคลื่อนตัวออกของดินพบว่า ขนาดของการเคลื่อนตัวออกของดินจะขึ้นอยู่กับระยะห่างจากขอบอุโมงค์และความดันของการฉีดน้ำปูน



รูปที่ 3.45 อิทธิพลจากการอัดฉีดน้ำปูนที่ส่งผลกระทบต่อการเคลื่อนตัวทางด้านข้างของดิน

ตารางที่ 3.2 ความดันการอัดฉีดน้ำปูนและขนาดการเคลื่อนตัวทางด้านข้างของดินจากอุโมงค์

เครื่องมือวัด การเคลื่อนตัว ทางด้านข้าง	ความดันของการฉีดน้ำปูน (บาร์)	ระยะจากขอบ อุโมงค์ (เมตร)	ความดันในการฉีดน้ำปูน / ระยะจากขอบอุโมงค์ (บาร์/เมตร)	การเคลื่อนตัวทาง ด้านข้างออกจากอุโมงค์ สูงสุด (มิลลิเมตร)
23-IE-002	2	0.7	2.86	-3.45
23-IE-008	2	5.9	0.34	-0.5
26-IE-002	1.5	0.9	1.67	-3.7
28-IE-005	2.5	2.45	1.02	-3.1
IN-T7-01	2.5	1.85	1.35	-2.4
IN-T7-04	2.5	2.35	1.06	-2.7
IN-T7-05	2.4	1.85	1.30	-5.2